

สำนักหอสมุดกลาง พระจอมเกล้าลาดกระบัง

การศึกษาออกแบบและสร้างของสายอากาศแบบไมโครสตริปสำหรับมัลติอินพุตและมัลติเอาต์พุต
A study on Design and Fabrication of Microstrip antennas for multi input and multi output



เลขหมู่.....
เลขทะเบียน.....**62720**
วัน,เดือน,ปี **21** ส.ค. 2549

b. **111:62720**
i.

ปฏิญานิพนธ์นี้เป็นส่วนหนึ่งของการศึกษาตามหลักสูตรปริญญาวิศวกรรมศาสตรบัณฑิต

ภาควิชาวิศวกรรมสารสนเทศ

คณะวิศวกรรมศาสตร์

สถาบันเทคโนโลยีพระจอมเกล้าเจ้าคุณทหารลาดกระบัง

ปีการศึกษา 2548

เอกสารนี้เป็นเอกสารที่สงวนไว้สำหรับการใช้งานเพื่อการศึกษาเท่านั้น ไม่อนุญาตให้นำไปใช้ประโยชน์ด้านการค้า
ไม่ว่ากรณีใดๆ ทั้งสิ้น อีกทั้งห้ามมิให้ดัดแปลงเนื้อหา และต้องอ้างอิงถึงเจ้าของเอกสารทุกครั้งที่มีการนำไปใช้

A study on Design and Fabrication of Microstrip antennas for multi input and multi output



A THESIS SUBMITTED IN PARTIAL FULFILLMENT OF
THE REQUIREMENT FOR THE DEGREE OF
BACHELOR DEPARTMENT OF INFORMATION ENGINEERING
FACULTY OF ENGINEERING
KING MONGKUT'S INSTITUTE OF TECHNOLOGY LADKRABANG

เอกสารนี้เป็นเอกสารที่สงวนไว้สำหรับการใช้งานเพื่อการศึกษาเท่านั้น ไม่อนุญาตให้นำไปใช้ประโยชน์ด้านการค้า
ไม่ว่ากรณีใดๆ ทั้งสิ้น อีกทั้งห้ามมิให้ดัดแปลงเนื้อหา และต้องอ้างอิงถึงเจ้าของเอกสารทุกครั้งที่มีการนำไปใช้

หัวข้อปริญญาบัตร การศึกษาออกแบบและสร้างของสายอากาศแบบไมโครสตริปสำหรับมัลติ
อินพุตและมัลติเอาต์พุต

ชื่อนักศึกษา นายสุวัฒน์ ละอองอินทร์ รหัสนักศึกษา 46015649
นายอภิรัตน์ อ่อนสนิท รหัสนักศึกษา 46015653

อาจารย์ที่ปรึกษา อาจารย์สถาพร พรหมวงศ์
รศ.นิกร สุขุมตันติ

ระดับการศึกษา ปริญญาตรี วิศวกรรมศาสตรบัณฑิต
สาขาวิชา วิศวกรรมสารสนเทศ

ภาควิชา วิศวกรรมสารสนเทศ

ปีการศึกษา 2548

คณะวิศวกรรมศาสตร์ สถาบันเทคโนโลยีพระจอมเกล้าเจ้าคุณทหารลาดกระบัง อนุมัติให้
นับปริญญาบัตรฉบับนี้เป็นส่วนหนึ่งของการศึกษาตามหลักสูตรวิศวกรรมศาสตรบัณฑิต



.....อาจารย์ที่ปรึกษา
(อาจารย์สถาพร พรหมวงศ์)

.....อาจารย์ที่ปรึกษา
(รศ.นิกร สุขุมตันติ)

เอกสารนี้เป็นเอกสารที่สงวนไว้สำหรับการใช้งานเพื่อการศึกษาเท่านั้น ไม่อนุญาตให้นำไปใช้ประโยชน์ด้านการค้า
ไม่ว่ากรณีใดๆ ทั้งสิ้น อีกทั้งห้ามมิให้ดัดแปลงเนื้อหา และต้องอ้างอิงถึงเจ้าของเอกสารทุกครั้งที่มีการนำไปใช้

หัวข้อปริญญานิพนธ์ การศึกษาออกแบบและสร้างของสายอากาศแบบไมโครสตริปสำหรับมัลติอินพุทและมัลติเอาต์พุท

ชื่อนักศึกษา นายสุวัฒน์ ละอองอินทร์ รหัสนักศึกษา 46015649
นายอภิรัตน์ อ่อนสนิท รหัสนักศึกษา 46015653

อาจารย์ที่ปรึกษา อาจารย์สถาพร พรหมวงศ์
รศ.นิกร สุขุดมตันติ

ระดับการศึกษา ปริญญาตรี วิศวกรรมศาสตรบัณฑิต
สาขาวิศวกรรมสารสนเทศ

ภาควิชา วิศวกรรมสารสนเทศ

ปีการศึกษา 2548

บทคัดย่อ

โครงการนี้เป็นการศึกษาวิจัยและออกแบบสายอากาศแบบไมโครสตริปสำหรับสายอากาศแบบมัลติอินพุทและมัลติเอาต์พุท ที่มีรูปแบบลักษณะของแพทช์เป็นแบบสี่เหลี่ยม แบบ อาร์เธย์ โดยทำงานย่านไมโครเวฟ ที่ความถี่ 5.2GHz ซึ่งจะทำการวิเคราะห์และออกแบบโดยโปรแกรมซีแลนด์ เพื่อสร้างสายอากาศบนแผ่นวงจรพิมพ์ และทำการวัดวิเคราะห์โดยเครื่องวิเคราะห์โครงข่ายเวคเตอร์

เอกสารนี้เป็นเอกสารที่สงวนไว้สำหรับการใช้งานเพื่อการศึกษาเท่านั้น ไม่อนุญาตให้นำไปใช้ประโยชน์ด้านการค้าไม่ว่ากรณีใดๆ ทั้งสิ้น อีกทั้งห้ามมิให้ดัดแปลงเนื้อหา และต้องอ้างอิงถึงเจ้าของเอกสารทุกครั้งที่มีการนำไปใช้

Thesis Title A study on Design and Fabrication of Microstrip antennas for
 multi input and multi output

Student Mr. Suwath Laongin ID. 46015649
 Mr. Apirut Onsanit ID. 46015653

Adviser Mr. Sathaporn Promwong
 Asst. Prof. Nikorn Sukutamantani

Department Information Engineering

Academic Year 2005

Abstract

This project is study and design of microstrip antennas for multi input and multi output. The design in configurations of the patch form square. Use in frequency Microwave 5.2GHz. Make by program ZELAND. Make Micro strip Antennas by PCB. Measurement of characteristic microstrip antennas by Vector Network Analysis.

เอกสารนี้เป็นเอกสารที่สงวนไว้สำหรับการใช้งานเพื่อการศึกษาเท่านั้น ไม่อนุญาตให้นำไปใช้ประโยชน์ด้านการค้า
ไม่ว่ากรณีใดๆ ทั้งสิ้น อีกทั้งห้ามมิให้ดัดแปลงเนื้อหา และต้องอ้างอิงถึงเจ้าของเอกสารทุกครั้งที่มีการนำไปใช้

กิตติกรรมประกาศ

ปริญญานิพนธ์ฉบับนี้สำเร็จลุล่วงไปได้ด้วยดีเนื่องจากได้รับคำแนะนำและดูแลเอาใจใส่เป็นอย่างดี คัดลอกจนแนวทางในการแก้ไขปัญหาต่างๆที่เกิดขึ้น ทั้งหมดนี้เกิดขึ้นได้เพราะข้าพเจ้ามีอาจารย์ที่ปรึกษาประกอบด้วย

อาจารย์สถาพร พรหมวงศ์

รศ.นิกร สุขุมตันติ

รวมถึงได้ให้คำชี้แนะ ความรู้ สถานที่ และอุปกรณ์ต่างๆ อีกทั้งยังคอยตรวจรายงานของข้าพเจ้าเสมอมา

และ ผศ.พิชญ์ สุพรรณกุล ที่คอยให้คำแนะนำเสมอ สุดท้ายขอขอบคุณเพื่อนใน UWB Radio System Lab ที่คอยเป็นเพื่อน ในเวลาทำงานและช่วยกันแก้ไขปัญหาอยู่เสมอ สุดท้ายนี้ที่ควรระลึกถึงอย่างยิ่งคือ บิดา และมารดาที่เป็นผู้ให้การสนับสนุนทางการศึกษา และเป็นกำลังใจอยู่เสมอมา

นายสุวัฒน์ ละอองอินทร์

นายอภิรัตน์ อ่อนสนิท

เอกสารนี้เป็นเอกสารที่สงวนไว้สำหรับการใช้งานเพื่อการศึกษาเท่านั้น ไม่อนุญาตให้นำไปใช้ประโยชน์ด้านการค้าไม่ว่ากรณีใดๆ ทั้งสิ้น อีกทั้งห้ามมิให้ดัดแปลงเนื้อหา และต้องอ้างอิงถึงเจ้าของเอกสารทุกครั้งที่มีการนำไปใช้

สารบัญ

	หน้า
บทคัดย่อภาษาไทย	ก
บทคัดย่อภาษาอังกฤษ	ข
กิตติกรรมประกาศ	ค
สารบัญ	ง
สารบัญตาราง	ช
สารบัญรูป	ฅ
บทที่ 1 บทนำ	1
1.1 แนวคิดและที่มาของโครงการ	1
1.2 วัตถุประสงค์ของโครงการ	2
1.3 ขอบเขตของโครงการ	2
1.4 องค์ประกอบหลักของโครงการ	2
1.5 ขั้นตอนการดำเนินงาน	2
บทที่ 2 ทฤษฎี	4
2.1 ลักษณะโครงสร้างสายอากาศไมโครสตริป (Microstrip Antenna)	4
2.2 ลักษณะรูปร่างของแผ่นสายอากาศไมโครสตริปแบบต่างๆ	5
2.3 คุณสมบัติที่พิเศษกว่า Microstrip Antenna ชนิดอื่นๆ มีดังนี้	5
2.3.1 ข้อดีของ Microstrip Antenna	5
2.3.2 ข้อเสียของ Microstrip Antenna	6
2.3.3 การนำไปประยุกต์ใช้งาน	6
2.4 รูปแบบการป้อนสัญญาณให้กับสายอากาศไมโครสตริปด้วยวิธีต่างๆ	6
2.4.1 การป้อนสัญญาณด้วยสายส่งไมโครสตริป (Microstrip Line)	6
2.4.2 การป้อนสัญญาณด้วยโคแอกเซียล (Coaxial Cable)	7
2.5 รูปการแผ่กระจายคลื่นแพทช์ของไมโครสตริป (Radiations Wave)	8
2.6 รูปแบบการแผ่กระจายหลัก	9
2.7 โลกของรูปแบบการแผ่กระจายคลื่น	10
2.8 บริเวณต่างๆ ของสายอากาศ	11
2.9 บีมวิคส์ของสายอากาศ	12
2.9.1 วิธีหาค่าบีมวิคส์สายอากาศ	12

เอกสารนี้เป็นเอกสารที่สงวนไว้สำหรับการใช้งานเพื่อการศึกษาเท่านั้น ไม่อนุญาตให้นำไปใช้ประโยชน์ด้านการค้า

ไม่ว่ากรณีใดๆ ทั้งสิ้น อีกทั้งห้ามมิให้ดัดแปลงเนื้อหา และต้องอ้างอิงถึงเจ้าของเอกสารทุกครั้งที่มีการนำไปใช้

สารบัญ(ต่อ)

	หน้า
2.10 ความหนาแน่นของการแพร่กระจายคลื่น	13
2.11 ความเข้มของการแพร่กระจายคลื่น	14
2.12 การแผ่กระจายกำลังงานจากระยะยาวอนันต์ (Infinite Slit)	15
2.13 สายอากาศไมโครสตริปอาร์เรย์ (Microstrip Array)	23
2.13.1 สายอากาศอาร์เรย์แบบ 2 อิลิเมนต์ (Two-element Array)	23
2.13.2 สายอากาศอาร์เรย์แบบ N อิลิเมนต์ (N-element Array)	24
บทที่ 3 การออกแบบและสร้างสายอากาศแบบไมโครสตริป	26
3.1 วิธีการออกแบบสร้างสายอากาศแบบไมโครสตริป (Design)	26
3.1.1 การคำนวณหาค่าแพทช์ (Patch)	26
3.1.2 วิธีการออกแบบสายอากาศแบบไมโครสตริปแบบการวางตัวแต่ละอิลิเมนต์	28
3.2 อุปกรณ์ที่ใช้ในการสร้างสายอากาศไมโครสตริป	29
3.3 ขั้นตอนการออกแบบและการสร้างสายอากาศไมโครสตริป	29
บทที่ 4 การทดลองวัดและผลการทดลอง	30
4.1 การทดลองวัดคุณสมบัติของสายอากาศ	31
4.1.1 อุปกรณ์ที่ใช้ในการทดสอบ	31
4.1.2 ขั้นตอนการทดสอบ	31
4.2 ผลการทดสอบคุณสมบัติของสายอากาศ	31
4.2.1 การวัดค่าการสูญเสียย้อนกลับ	31
4.2.2 การทดสอบหาค่าอิมพีแดนซ์ของสายอากาศ	32
4.2.3 การทดสอบหาค่าอัตราส่วนคลื่นนิ่ง (VSWR)	33
4.2.4 ทดสอบวัดหาค่าเฟสของสายอากาศไมโครสตริป (Phase)	34
4.3 วิเคราะห์ผลการทดลองวัดคุณสมบัติของสายอากาศ	35
4.4 ทดลองวัดทดสอบรูปแบบการส่งผ่านคลื่น (Transfer Function)	36
4.4.1 อุปกรณ์ที่ใช้ในการทดสอบ	36
4.4.2 ขั้นตอนการทดสอบ	36
4.5 ผลการทดสอบคุณสมบัติของสายอากาศ	36
4.5.1 ทดสอบวัดหาค่าสัมประสิทธิ์การส่งผ่าน (Transfer Function) ที่ระยะ 1 เมตร	36
4.5.2 ทำการวัดวิเคราะห์ค่าเฟส (phase) การส่งสัญญาณ ที่ระยะ 1 เมตร	37

เอกสารนี้เป็นเอกสารที่สงวนไว้สำหรับการใช้งานเพื่อการศึกษาเท่านั้น ไม่อนุญาตให้นำไปใช้ประโยชน์ด้านการค้า

ไม่ว่ากรณีใดๆ ทั้งสิ้น อีกทั้งห้ามมิให้ดัดแปลงเนื้อหา และต้องอ้างอิงถึงเจ้าของเอกสารทุกครั้งที่มีการนำไปใช้

สารบัญ(ต่อ)

	หน้า
4.5.3 ทดสอบวัดหาค่าสัมประสิทธิ์การส่งผ่าน (Transfer Function) ที่ระยะ 2 เมตร	37
4.5.2 ทำการวัดวิเคราะห์ค่าเฟส (phase) การส่งสัญญาณ ที่ระยะ 2 เมตร	38
4.6 วิเคราะห์ผลการทดลองวัดค่าสัมประสิทธิ์การส่งผ่าน (Transfer Function)	39
บทที่ 5 บทสรุป	40
5.1 บทสรุป	40
5.2 วิจารณ์ และแนวทางการพัฒนา	40
5.2.1 ปัญหา	41
5.2.2 แนวทางแก้ไข	41
5.3 แนวทางการพัฒนา	41
บรรณานุกรม	
ภาคผนวก ก ข้อมูลการป้อนโคแอกเซียล (Coaxial Cable) และข้อมูลแผ่น Epoxy FR-4	
ภาคผนวก ข คำอธิบายความหมายของตัวแปรต่างๆ	

เอกสารนี้เป็นเอกสารที่สงวนไว้สำหรับการใช้งานเพื่อการศึกษาเท่านั้น ไม่อนุญาตให้นำไปใช้ประโยชน์ด้านการค้า
ไม่ว่ากรณีใดๆ ทั้งสิ้น อีกทั้งห้ามมิให้ดัดแปลงเนื้อหา และต้องอ้างอิงถึงเจ้าของเอกสารทุกครั้งที่มีการนำไปใช้

สารบัญตาราง

	หน้า
ตารางที่ 1.1 มาตรฐานเครื่องถ่ายไร้สาย	2
ตารางที่ 4.1 ค่าการสูญเสียย้อนกลับของสายอากาศไมโครสตริป	31
ตารางที่ 4.2 ค่าอินพุตอิมพีแดนซ์ของสายอากาศไมโครสตริป	32
ตารางที่ 4.3 ค่าอัตราส่วนคลื่นนิ่งของสายอากาศไมโครสตริป	33



เอกสารนี้เป็นเอกสารที่สงวนไว้สำหรับการใช้งานเพื่อการศึกษาเท่านั้น ไม่อนุญาตให้นำไปใช้ประโยชน์ด้านการค้า
ไม่ว่ากรณีใดๆ ทั้งสิ้น อีกทั้งห้ามมิให้ดัดแปลงเนื้อหา และต้องอ้างอิงถึงเจ้าของเอกสารทุกครั้งที่มีการนำไปใช้

สารบัญรูปภาพ

	หน้า
รูปที่ 2.1 แสดงแบบโครงสร้างโดยทั่วไปสายอากาศไมโครสตริป	4
รูปที่ 2.2 แบบการออกแบบสายอากาศไมโครสตริปรูปร่างต่างๆโดยทั่วไป	5
รูปที่ 2.3 การป้อนสัญญาณด้วยวิธีสายส่งไมโครสตริป	7
รูปที่ 2.4 การป้อนสัญญาณด้วยโคแอกเชียล	7
รูปที่ 2.5 การแพร่กระจาย E-planes P-planes	8
รูปที่ 2.6 รูปแบบการแพร่กระจายคลื่นในระนาบ E และ H ของสายอากาศปากแตร	9
รูปที่ 2.7 โลบต่าง ๆ และบีมวิคท์ของรูปแบบการแพร่กระจายสายอากาศ	10
รูปที่ 2.8 รูปแบบการแพร่กระจายในแนวลินีเยร์	11
รูปที่ 2.9 การแบ่งบริเวณของสนามจากสายอากาศ	11
รูปที่ 2.10 ตัวอย่างการหาค่าที่บีมวิคท์จากแพทเทิร์นสายอากาศ	13
รูปที่ 2.11 การแผ่กระจายกำลังงานจากร่องยาวอนันต์ (Infinite Slit)	16
รูปที่ 2.12 มุมมองด้านข้าง (Side View) ของร่องที่ยาวอนันต์ (Infinite Slit)	16
รูปที่ 2.13 กราฟของ $(\sin x)/x$	17
รูปที่ 2.14 ช่องเปิดรูปสี่เหลี่ยมมุมฉาก	18
รูปที่ 2.15 สายอากาศอาร์เรย์แบบ 2 อิลิเมนต์ ที่วางตามแนวแกน Z	24
รูปที่ 2.16 สายอากาศอาร์เรย์แบบ N อิลิเมนต์ (N-element array)	25
รูปที่ 3.1 แสดงลักษณะของคัพระกอบของสายอากาศไมโครสตริปแพทช์รูปสี่เหลี่ยม	26
รูปที่ 3.2 ระยะห่างระหว่างแพทช์สายอากาศแบบไมโครสตริป	28
รูปที่ 3.3 สายอากาศแบบไมโครสตริปที่ทำการสร้างขึ้น	29
รูปที่ 4.1 สายอากาศไมโครสตริปที่ทำการต่อ Network Analyzer ใช้ในการทดลอง	30
รูปที่ 4.2 ค่าการสูญเสียย้อนกลับ (Return Loss) ที่ได้จากการทดสอบ	32
รูปที่ 4.3 อิมพีแดนซ์ของสายอากาศ (Impedance) ที่ได้จากการทดสอบ	33
รูปที่ 4.4 อัตราส่วนคลื่นนิ่งของแรงดัน (VSWR) ที่ได้จากการทดสอบ	34
รูปที่ 4.5 ทดสอบวัดค่าเฟสของสายอากาศไมโครสตริป (Phase)	34
รูปที่ 4.6 ทดสอบวัดค่าสัมประสิทธิ์การส่งผ่าน (Transfer Function)	35
รูปที่ 4.7 ค่าทดสอบวัดค่าสัมประสิทธิ์การส่งผ่าน (Transfer Function) ที่ระยะ 1 เมตร	36
รูปที่ 4.8 ผลการวัดค่าเฟส (phase) การส่งผ่านของสายอากาศที่สร้างขึ้นที่ระยะ 1 เมตร	37
รูปที่ 4.9 ค่าทดสอบวัดค่าสัมประสิทธิ์การส่งผ่าน (Transfer Function) ที่ระยะ 2 เมตร	38
รูปที่ 4.10 ผลการวัดค่าเฟส (phase) การส่งผ่านของสายอากาศที่สร้างขึ้นที่ระยะ 2 เมตร	38

เอกสารนี้เป็นเอกสารที่สงวนไว้สำหรับการใช้งานเพื่อการศึกษาเท่านั้น ไม่อนุญาตให้นำไปใช้ประโยชน์ด้านการค้า
ไม่ว่ากรณีใดๆ ทั้งสิ้น อีกทั้งห้ามมิให้ดัดแปลงเนื้อหา และต้องอ้างอิงถึงเจ้าของเอกสารทุกครั้งที่มีการนำไปใช้

บทที่ 1

บทนำ

จากอดีตที่ผ่านมา ได้มีการศึกษาค้นคว้าและทำการวิจัยต่างๆ เพื่อให้ได้ความรู้และเทคโนโลยีใหม่ๆหลายด้านเข้ามาใช้ในชีวิตประจำวันมากขึ้น โดยเฉพาะด้านกาสื่อสารซึ่งพัฒนาก้าวหน้าอย่างรวดเร็วเปลี่ยนจาโลกอุตสาหกรรมมาเป็นโลกของการสื่อสาร มีการพัฒนาอุปกรณ์ทางการสื่อสารทั้งในด้านรับ ด้านส่งสัญญาณอย่างต่อเนื่องและสม่ำเสมอ อุปกรณ์ที่ใช้ทั่วไปจะมีขนาดใหญ่ เป็นสาเหตุให้เกิดปัญหาต่างๆ เช่น ปัญหาเรื่องพื้นที่ในการติดตั้งอุปกรณ์ ต้องใช้วัสดุจำนวนมากในการประดิษฐ์อุปกรณ์ ฯลฯ

ด้วยเหตุนี้จึงได้มีการศึกษาค้นคว้าเกี่ยวกับเรื่อง Microstrip Array Antenna เพื่อนำมาใช้กับอุปกรณ์ทางการสื่อสาร ในด้านการรับ-ส่งสัญญาณในระยะใกล้ เช่นในเครื่องมือทางการแพทย์บางอย่าง เป็นต้น เพิ่มความสะดวกในการติดตั้ง และมีประสิทธิภาพในการรับ-ส่งสัญญาณได้ชัดเจนยิ่งขึ้น

เนื่องจากปัจจุบันมีการสร้างเครื่องรับ-ส่งสัญญาณขึ้นหลายชนิด ที่รู้จักกันทั่วไป คือ Antenna เช่น Wire Antenna , Aperture Antenna , Array Antenna , Refractory Antenna และ Lens Antenna สำหรับโครงการนี้มีเป้าหมายในการที่จะประยุกต์ Microstrip Antenna มาทำเป็น Array แบบ Hansen-Woodyard End Fire Array โดยทำการศึกษาค้นคว้าเกี่ยวกับ Impedance and radiation characteristics ของ Hansen-Woodyard End-Fire Array แล้วนำมาจำลองระบบ ด้วย Program Computer เพื่อเปรียบเทียบคุณสมบัติการแพร่กระจายคลื่น ระหว่าง Dipole Antenna Array กับ Microstrip Antenna Array เพื่อพิจารณาว่า Microstrip Antenna Array มีความเหมาะสมที่จะนำมาประยุกต์ใช้งานแทน Dipole Antenna Array ในปัจจุบัน

1.1 แนวคิดและที่มาของโครงการ

การที่นำเอาแนวคิดทำสายอากาศเป็นการใช้งานในลักษณะแบบไมโครสตริปสำหรับมัลติอินพุทและมัลติเอาต์พุต Microstrip Antennas for multi input and multi output ที่ความถี่ 5.2 GHz นี้ นั้นก็หมายความว่า อุปกรณ์ชิ้นนั้นมันสามารถติดต่อสื่อสารกับเครื่องตัวอื่นในระบบ Network แบบไร้สายได้ โดยอยู่ภายใต้มาตรฐานเทคโนโลยี 802.11 สำหรับเลข 802.11 นั้นก็เป็น เทคโนโลยีมาตรฐานแบบเปิดซึ่งกำหนดโดย Institute of Electrical and Electronics Engineering (IEEE) โดยเลขหลักตัวหน้าจะเหมือนกัน แต่ความแตกต่างของเทคโนโลยีจะกำหนดด้วยตัวอักษรด้านหลัง เช่น 802.11b ,802.11a ,802.11g จากตารางที่ 1.1

ไม่ว่ากรณีใดๆ ทั้งสิ้น อีกทั้งห้ามมิให้ดัดแปลงเนื้อหา และต้องอ้างอิงถึงเจ้าของเอกสารทุกครั้งที่มีการนำไปใช้

ตารางที่ 1.1 มาตรฐานเครือข่ายไร้

มาตรฐาน	ย่านความถี่	ความเร็ว
IEEE802.11a	5.1-5.2 GHz	54 Mbps
IEEE802.11b	2.4-2.48 GHz	11 Mbps
IEEE802.11g	2.4-2.48 GHz	36-54 Mbps

1.2 วัตถุประสงค์ของโครงการ

- 2.1 เพื่อนำไปใช้ส่งสัญญาณในรูปแบบต่างๆ ในย่านความถี่ Microwave 5.2 GHz
- 2.2 เพื่อสร้างสายอากาศที่ใช้ในการทดลองอื่นๆ ได้อีก
- 2.3 เพื่อนำไปเป็นอุปกรณ์ในการศึกษาเกี่ยวกับสายอากาศได้

1.3 ขอบเขตของโครงการ

- 1.3.1 ทำการศึกษาเกี่ยวกับค่าพารามิเตอร์ของสายอากาศไมโครสตริปในรูปแบบต่างๆ ในย่านความถี่ Microwave 5.2 GHz
- 1.3.1 ทำการออกแบบสายอากาศไมโครสตริปโดยวิธีการจำลองโดยโปรแกรม ZELAND
- 1.3.3 ทำการจัดหาอุปกรณ์ตามท้องตลาดเพื่อในการสร้างสายอากาศไมโครสตริป

1.4 องค์กรประกอบหลักของโครงการ

- 1.4.1 เพื่อได้สายส่งสัญญาณในรูปแบบต่างๆ ในย่านความถี่ Microwave 5.2 GHz
- 1.4.2 เพื่อได้สร้างสายอากาศที่ใช้ในการทดลองอื่นๆ ได้อีก
- 1.4.3 เพื่อได้อุปกรณ์ในการศึกษาเกี่ยวกับสายอากาศ

1.5 ขั้นตอนการดำเนินงาน

- 1.5.1 ทำการคำนวณสายอากาศที่มีค่าพารามิเตอร์ของสายอากาศไมโครสตริปในรูปแบบต่างๆ ในย่านความถี่ Microwave 5.2 GHz
- 1.5.2 ทำการวิเคราะห์สายอากาศที่ทำการออกแบบตามที่ได้คำนวณมาโดยโปรแกรม ZELAND

เอกสารนี้เป็นเอกสารที่สงวนไว้สำหรับการใช้งานเพื่อการศึกษาเท่านั้น ไม่อนุญาตให้นำไปใช้ประโยชน์ด้านการค้า ไม่ว่าจะกรณีใดๆ ทั้งสิ้น อีกทั้งห้ามมิให้ดัดแปลงเนื้อหา และต้องอ้างอิงถึงเจ้าของเอกสารทุกครั้งที่มีการนำไปใช้

- 1.5.3 ทำการจัดหาอุปกรณ์ตามท้องตลาดเพื่อในการสร้างสายอากาศไมโครสตริปที่ได้ทำการวิเคราะห์แล้วออกแบบไว้
- 1.5.4 ทำการสร้างสายอากาศที่ทำการออกแบบและใช้อุปกรณ์ที่ได้จัดเตรียมไว้
- 1.5.5 ทำการวัดและทดสอบสายอากาศที่สร้างขึ้นมาว่าสามารถใช้งานได้จริง
- 1.5.6 ทำการวัดเพื่อวิเคราะห์สายอากาศที่สร้างขึ้นเพื่อวิเคราะห์การส่งผ่านของสายอากาศที่สร้างขึ้น



เอกสารนี้เป็นเอกสารที่สงวนไว้สำหรับการใช้งานเพื่อการศึกษาเท่านั้น ไม่อนุญาตให้นำไปใช้ประโยชน์ด้านการค้า ไม่ว่าจะกรณีใดๆ ทั้งสิ้น อีกทั้งห้ามมิให้ดัดแปลงเนื้อหา และต้องอ้างอิงถึงเจ้าของเอกสารทุกครั้งที่มีการนำไปใช้

บทที่ 2 ทฤษฎี

สายอากาศแบบไมโครสตริป (Microstrip Antenna)

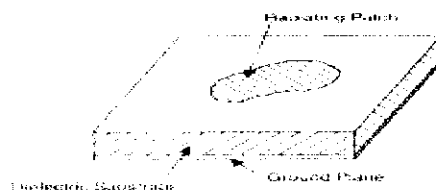
การคิดค้นในการใช้สายอากาศไมโครสตริป (Microstrip Antenna) เป็นตัวแพร่กระจายคลื่นได้ถูกนำมาเสนอ โดย Deschamps ในปี ค.ศ. 1953 ซึ่งเป็นรูปทรงสี่เหลี่ยมขนาดเล็ก และหลังจากนั้น 20 ปี ต่อมาสายอากาศไมโครสตริป จึงถูกนำมาสร้างขึ้นมาทดลองใช้อย่างเป็นจริงจังเป็นครั้งแรกในปี ค.ศ. 1970 โดย Howell , Munson โดยมีการพัฒนาแบบจำลองภาคทฤษฎี และเทคนิค photo-etching ของฐานรองเป็น copper หรือ gold-clad ให้มีคุณสมบัติทางอุณหภูมิต่ำ และทางกลศาสตร์ที่ดีขึ้น โดยมีค่า loss-tangent ที่ต่ำ ซึ่งหลังจากนั้นก็มีการศึกษาวิจัย และ พัฒนากันมากมาย และจึงนำมาสู่การพัฒนาเพื่อจะนำไปประยุกต์ใช้งานที่แตกต่างกันจนถึงปัจจุบันนี้

2.1 ลักษณะโครงสร้างสายอากาศไมโครสตริป (Microstrip Antenna)

ส่วนประกอบโครงสร้างหลักของสายอากาศไมโครสตริปจะประกอบอยู่ 4 ส่วนหลักๆคือ

1. แผ่นโลหะตัวนำที่บางมากเรียกว่าแพทช์ (Patch)
2. สารฉนวนไดอิเล็กตริก
3. กราวด์ซึ่งกว้างกว่า แพทช์มาก
4. สายป้อนสัญญาณ (Feeder) ซึ่งเป็นตัวป้อนกำลังให้กับเฮลเลนเมนต์

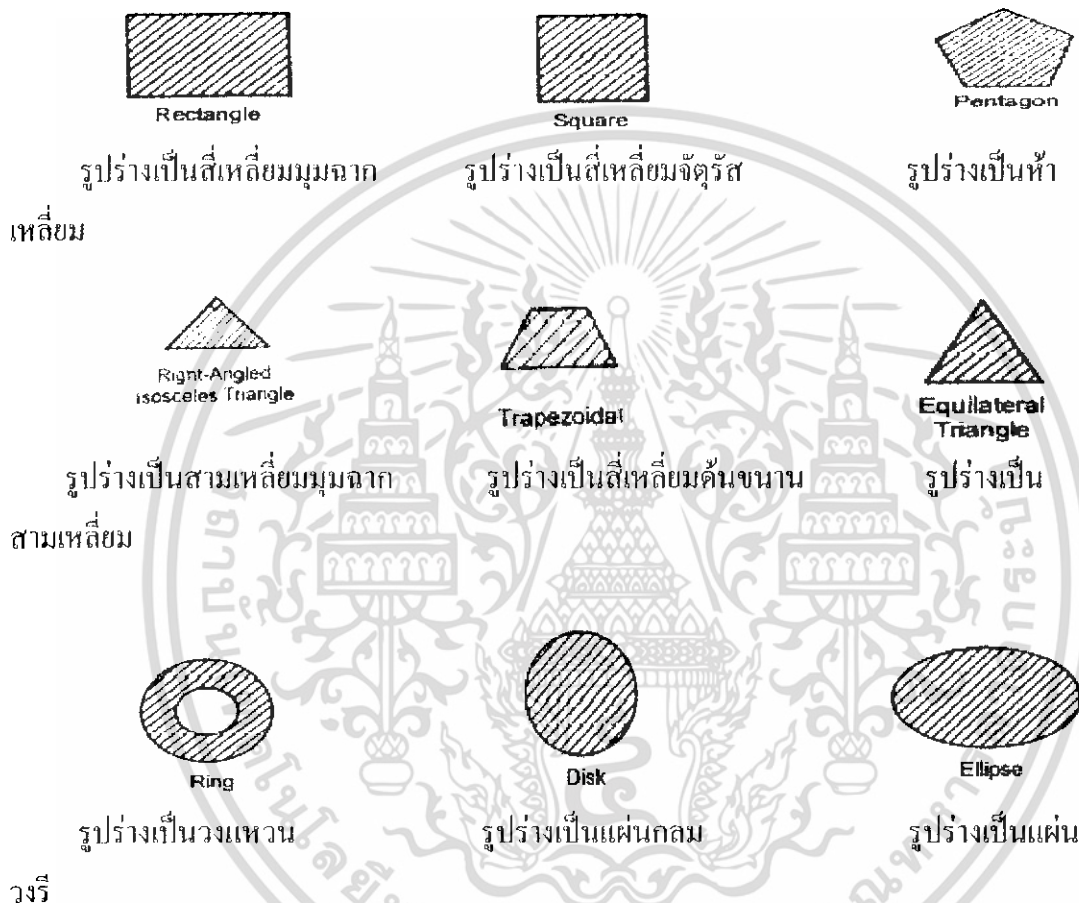
สายอากาศไมโครสตริป (Microstrip Antenna) จะประกอบไปด้วยส่วนที่เป็นแผ่นหรือที่เราเรียกว่าแพทช์ (Patch) ซึ่งในตัวเอง โดยทั่วไปจะมีรูปร่างเป็นสี่เหลี่ยมมุมฉากหรือวงกลม ซึ่งถูกแยกออกจากกันด้วยแผ่นระนาบกราวด์ที่มีความบาง (เป็นเศษส่วนของความยาวคลื่น) และมีลักษณะเป็นชั้นหรือที่เรียกว่าเป็นซับสเตรท (Substrate) ของสารไดอิเล็กตริก ไมโครสตริปได้รับความนิยมอย่างมากในการใช้งานเนื่องจากมีลักษณะแบนราบไม่ด้านลมและสามารถติดกับผิวของยานพาหนะได้ นอกจากนี้ยังมีข้อดีในแง่ที่ราคาถูก น้ำหนักเบา และมีความสะดวกในการสร้างและการติดตั้ง แต่ขณะเดียวกันการออกแบบก็มีความยุ่งยากอยู่



เอกสารนี้เป็นเอกสาร รูปที่ 2.1 แสดงแบบโครงสร้างโดยทั่วไปสายอากาศไมโครสตริปใช้ประโยชน์ด้านการค้าไม่ว่ากรณีใดๆ ทั้งสิ้น อีกทั้งห้ามมิให้ดัดแปลงเนื้อหา และต้องอ้างอิงถึงเจ้าของเอกสารทุกครั้งที่มีการนำไปใช้

2.2 ลักษณะรูปร่างของแผ่นสายอากาศไมโครสตริปแบบต่างๆ

รูปแบบการออกแบบสายอากาศไมโครสตริปที่นำมาเป็นต้นแบบในการวิเคราะห์และนำมาประยุกต์ใช้งานโดยทั่วไปจะมีรูปร่างต่างๆดังนี้



รูปที่ 2.2 แบบการออกแบบสายอากาศไมโครสตริปรูปร่างต่างๆ โดยทั่วไป

2.3 คุณสมบัติที่พิเศษกว่า Microstrip Antenna ชนิดอื่นๆ มีดังนี้

2.3.1 ข้อดีของ Microstrip antenna

- น้ำหนักเบา
- ขนาดเล็ก
- สามารถนำมาตัดแต่งรูปร่างให้สมจุดได้
- ราคาถูก
- การผลิตง่าย

เอกสารนี้เป็นเอกสารที่สงวนไว้สำหรับการใช้งานเพื่อการศึกษาเท่านั้น ไม่อนุญาตให้นำไปใช้ประโยชน์ด้านการค้าไม่ว่ากรณีใดๆ ทั้งสิ้น อีกทั้งห้ามมิให้ดัดแปลงเนื้อหา และต้องอ้างอิงถึงเจ้าของเอกสารทุกครั้งที่มีการนำไปใช้

- สามารถทำให้บางได้
- ไม่มีเสียงรบกวนจากเครื่องบินหรือยานต่าง ๆ
- สามารถดัดแปลงใช้ในการนำวิถีจรวดหรือดาวเทียมได้
- มีค่า scattering cross section ต่ำ
- แพร่กระจายคลื่นได้ทั้งแบบเส้นตรงและวงกลม
- สามารถรวมกับความถี่อื่นๆได้

2.3.2 ข้อเสียของ Microstrip antenna

- มีการจำกัดสัญญาณในการใช้งาน (Narrow bandwidth)
- มี loss มากซึ่งส่งผลให้ได้ gain ต่ำ
- กำลังส่งสัญญาณมีค่าความจุต่ำ Low power handling capability

2.3.3 การนำไปประยุกต์ใช้งาน

ในทางปฏิบัติ ได้มีการนำสายอากาศแผ่นแบบไมโครสตริปไปออกแบบใช้งานในด้านต่างๆมากมาย ข้อดีของสายอากาศไมโครสตริปมีมากกว่าข้อเสีย ในการนำสายอากาศไมโครสตริปไปประยุกต์ใช้งาน เช่น

การสื่อสารทางดาวเทียม
 ดอปเปลอร์ และเรดาร์อื่นๆ
 การติดต่อทางวิทยุสื่อสาร
 การส่งงานและการควบคุม
 การวัดสภาพแวดล้อมและการส่งสัญญาณระยะไกล
 องค์ประกอบส่วนเอนของสายอากาศที่มีโครงสร้างซับซ้อน
 ตัวรับที่ใช้ในการเดินเรือ
 ตัวกระจายคลื่นทางการแพทย์

2.4 รูปแบบการป้อนสัญญาณให้กับสายอากาศไมโครสตริปด้วยวิธีต่างๆ

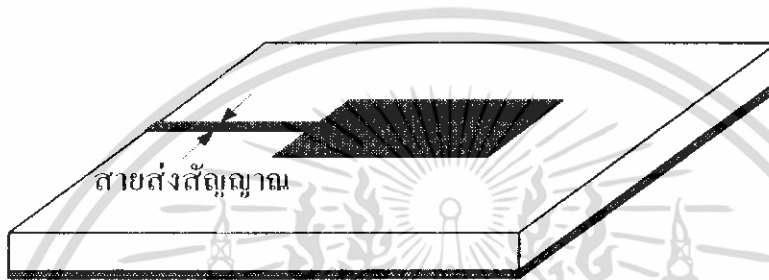
2.4.1 การป้อนสัญญาณด้วยสายส่งไมโครสตริป (Microstrip Line)

การป้อนพลังงานไฟฟ้าให้กับสายอากาศไมโครสตริป เป็นการป้อนกำลังงานไฟฟ้าไปยังขอบตัวนำของสายอากาศด้านบนโดยพื้นกราวด์เป็นกราวด์ร่วมกันกับตัวสายอากาศ และสำหรับสายส่งไมโครสตริปนี้จะต้องคำนึงถึงการแมทซ์อิมพีแดนซ์ ระหว่างสายป้อนสัญญาณกับด้านสายอากาศไมโครสตริป การป้อนสัญญาณที่แนวศูนย์กลางของสายอากาศ ซึ่งวิธีนี้เป็นวิธีที่ง่ายที่สุดในการป้อนสัญญาณ ก็คือการใช้แผ่นไมโครสตริป และสายส่งไมโครสตริปต่อกับตัวกลางโดยตรง แต่วิธีนี้จะได้สายอากาศที่มีคุณสมบัติไม่ค่อยดีนัก เพราะ โครงสร้างของสายอากาศและสายส่ง

เอ็กสกรีนเป็นเอ็กสกรีนที่ลงวันไว้สำหรับการใช้งานเพื่อการศึกษาเท่านั้น เมื่อนำไปใช้จริง เช่น ในการค้า

ไม่ว่ากรณีใดๆ ทั้งสิ้น อีกทั้งห้ามมิให้ดัดแปลงเนื้อหา และต้องอ้างอิงถึงเจ้าของเอกสารทุกครั้งที่มีการนำไปใช้

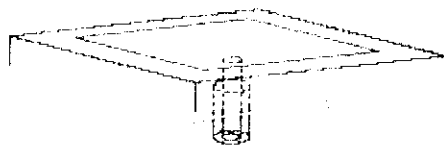
ไมโครสตริปจะไม่สอดคล้องกันกล่าวคือ สายอากาศนี้จะส่งคลื่นได้ไม่ดีนัก เนื่องจากมีผิวโลหะที่ไม่ต่อเนื่องกัน ทำให้ระดับของคลื่นในทิศทางด้านข้างทิศทางหลัก (Side Lobe Level) มีเพิ่มมากขึ้น ซึ่งจะไปลดคุณภาพของสายอากาศ นอกจากนี้ ช่วงความถี่ที่ใช้งานจะกว้างขึ้นด้วย เนื่องจากมีพลังงานจำนวนมากสะสมอยู่ ภายใต้แผ่นตัวนำ (Cavity Effect) แต่สายส่งชนิดนี้สามารถปรับแก้ซึ่งในตัวเองได้และยังสามารถสร้างได้ง่าย โดยทำการสร้างไปพร้อมกับแผ่นตัวนำที่ใช้ในการส่งคลื่นได้เลย ที่แสดงดังรูปที่ 2.3



รูปที่ 2.3 การป้อนสัญญาณด้วยวิธีสายส่งไมโครสตริป

2.4.2 การป้อนสัญญาณด้วยโคแอกเซียล (Coaxial Cable)

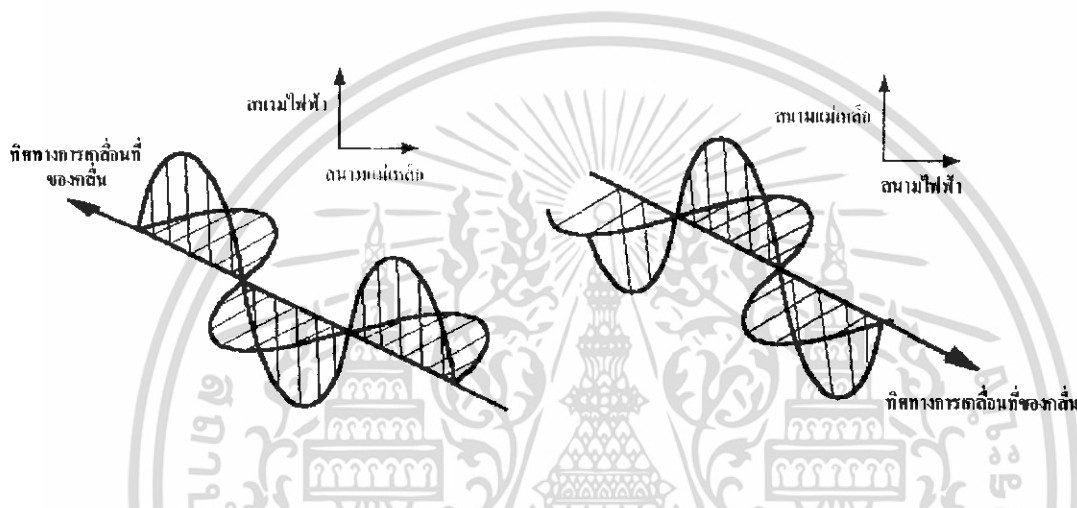
เป็นการป้อนกำลังงานโดยการเจาะทะลุจากกราวด์ทางด้านล่างต่อตัวนำด้านในของสายส่งเข้ากับตัวสายอากาศ และตัวนำจะเชื่อมต่อเข้ากับแผ่นกราวด์ การป้อนกำลังงานจะทำการป้อนโดยที่จะต้องคำนึงว่าจุดที่เราป้อนเข้าไปนั้นว่า แมทซ์อิมพีแดนซ์ระหว่างสายป้อนสัญญาณกับสายอากาศไมโครสตริปหรือไม่ ในการใช้สายเคเบิลแกนร่วมเป็นตัวป้อนสัญญาณจะต้องต่อสายนำสัญญาณให้ตั้งฉากกับแผ่นตัวนำ โดยตัวนำด้านในจะต่ออยู่กับตัวนำด้านบนและตัวนำด้านนอกจะต่ออยู่กับแผ่นระนาบตัวนำ ซึ่งจากการศึกษาจะพบว่าเมื่อจ่ายกระแสไฟฟ้า (สัญญาณ) ผ่านเข้าไปยังสายอากาศ สายอากาศจะมีการแพร่กระจายคลื่นเป็นปริมาณน้อยมาก เมื่อใช้ตัวกลางที่มีขนาดบาง แต่จะมีการแพร่กระจายคลื่นมากขึ้นถ้าต่อกับตัวกลางที่หนาขึ้น นอกจากนี้สายสัญญาณแกนคู่ยังสามารถต่อกับสายนำสัญญาณชนิดอื่นได้อีกด้วย ดังรูปที่ 2.4



เอกสารนี้เป็นเอกสารที่สงวนรูปที่ 2.4 การป้อนสัญญาณด้วยโคแอกเซียล มอนูอนุญาตให้นำไปใช้ประโยชน์ด้านการค้าไม่ว่ากรณีใดๆ ทั้งสิ้น อีกทั้งห้ามมิให้ดัดแปลงเนื้อหา และต้องอ้างอิงถึงเจ้าของเอกสารทุกครั้งที่มีการนำไปใช้

2.5 รูปการแผ่กระจายคลื่นแพทช์ของไมโครสตริป (Radiations wave)

เพื่อความเข้าใจในแบบรูปการแผ่กระจายคลื่นของสายอากาศชนิดแพทช์ของไมโครสตริปที่เกิดขึ้นระหว่างแพทช์ของไมโครสตริปนี้แบบรูปการแผ่กระจายคลื่นจึงมีลักษณะหลักที่มีค่าสูงสุดในทิศทางตามแนวแกน Y รูปการแผ่กระจายกำลังงานของสายอากาศที่มีลักษณะเป็นช่องเปิดรูปสี่เหลี่ยมของท่อนำคลื่น (Rectangular Aperture) ทั้งในระนาบสนามไฟฟ้าและสนามแม่เหล็ก (E-planes and H-planes)



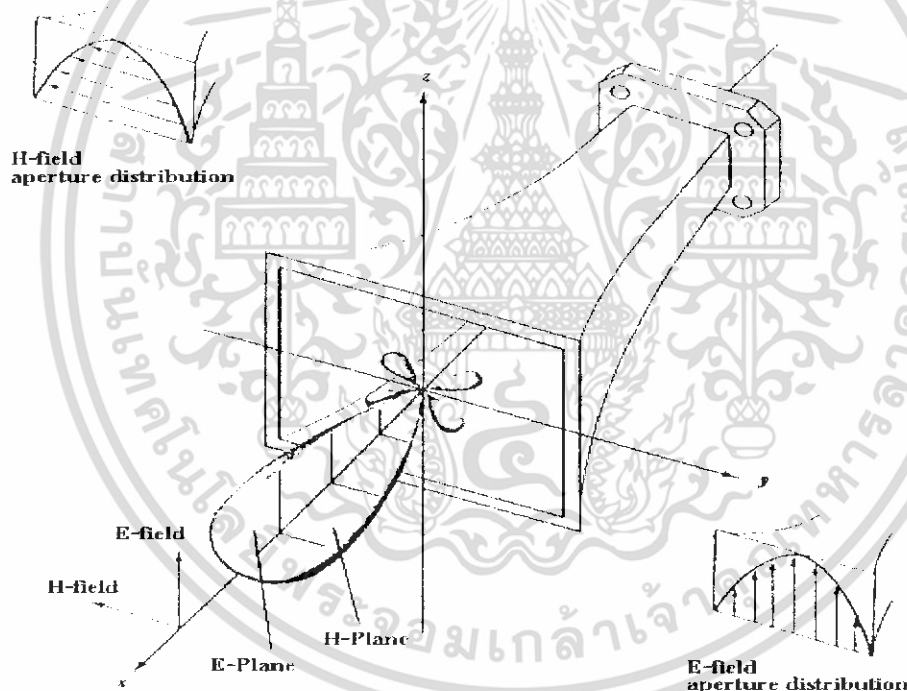
รูปที่ 2.5 การแผ่กระจาย H-planes P-planes

สายอากาศไดโพล (Dipole) คือ ตัวอย่างหนึ่งของสายอากาศเส้นลวด ที่มีการแผ่กระจายกำลังงานจากองค์ประกอบกระแสไฟฟ้า ส่วนสายอากาศชนิดอื่นๆ ที่แตกต่างจากหลักการของสายอากาศแบบเส้นลวด ก็คือสายอากาศแบบช่องเปิด (Aperture Antenna) สายอากาศชนิดนี้จะมีช่องเปิดเพื่อให้สนามแม่เหล็กไฟฟ้าทะลุผ่านออกไปได้ ซึ่งท่อนำคลื่นปลายเปิด คือ ตัวอย่างแบบง่ายที่สุดของสายอากาศลักษณะนี้ ลักษณะรูปแบบของการกระจายพลังงานของคลื่น หรือที่เรียกกันเป็นศัพท์เฉพาะว่า “แพทเทิร์นการกระจายคลื่น” ของสายอากาศไว้ก่อน ทิศทางที่สายอากาศจะแผ่ออกกระจายคลื่นออกไปนั้น อาจจะพุ่งขึ้นไปในท้องฟ้า หรือพุ่งไปในทิศทางต่าง ๆ ทั้งนี้ขึ้นอยู่กับ การออกแบบสายอากาศนั้น คุณสมบัติที่สำคัญอย่างหนึ่งของสายอากาศก็คือ แพทเทิร์น แสดงความเข้มของสนามแม่เหล็กไฟฟ้าที่ได้กระจายออกไปจากสายอากาศในทิศทางต่าง ๆ ตามธรรมชาติแล้วแพทเทิร์นนี้จะมีลักษณะกระจายไปในทั้ง 3 มิติ แต่การเขียนรูปแสดงแพทเทิร์นการกระจายคลื่นในลักษณะ 3 มิติ นั้นทำได้ลำบาก ดังนั้นโดยทั่วไปแล้วการเขียนรูปแสดงแพทเทิร์นการกระจายคลื่นของสายอากาศจึงนิยมแบ่งเขียนกันอยู่ในสองระนาบเท่านั้น คือการเขียนรูปแสดงแพทเทิร์นการกระจายคลื่นของสายอากาศในระนาบแนวนอน และแนวตั้ง การเขียนรูปแสดงแพทเทิร์นเอกสารนี้เป็นเอกสารที่สงวนไว้สำหรับการใช้งานเพื่อการศึกษาเท่านั้น ไม่อนุญาตให้นำไปใช้ประโยชน์ด้านการค้าไม่ว่ากรณีใดๆ ทั้งสิ้น อีกทั้งห้ามมิให้ดัดแปลงเนื้อหา และต้องอ้างอิงถึงเจ้าของเอกสารทุกครั้งที่มีการนำไปใช้

การกระจายคลื่นของสายอากาศในแนวอนมีชื่อว่า โพลาร์ หรือ อะซิมุทไดอะแกรม (Polar or Azimuth diagram) สำหรับสายอากาศไดโพลนั้นจะมีแพทเทิร์นการกระจายคลื่นดังแสดงในรูปที่ 2.5

2.6 รูปแบบการแพร่กระจายหลัก

สำหรับสายอากาศลิเนียร์โพลาไรเซชัน (Linearly Polarized Antenna) จะอธิบายคุณสมบัติของสายอากาศในเทอมของรูปแบบการแพร่กระจายหลัก (Principle Pattern) สนามไฟฟ้า E สนามแม่เหล็ก H แพทเทิร์นในระนาบ E จะเป็นระนาบที่บรรจุเวกเตอร์สนามไฟฟ้า และทิศทางของการแพร่กระจายคลื่นที่แรงที่สุด ส่วนรูปแบบการแพร่กระจายในระนาบ H จะเป็นระนาบที่บรรจุเวกเตอร์สนามแม่เหล็กและทิศทางของการแพร่กระจายคลื่นที่แรงที่สุด



รูปที่ 2.6 รูปแบบการแพร่กระจายคลื่นในระนาบ E และ H ของสายอากาศปากแตร

รูปที่ 2.6 เป็นการแสดงรูปแบบการแพร่กระจายหลัก โดยมีระนาบ XZ (ระนาบเอเลเวชัน; $\phi = 0$) เป็นระนาบ E หลัก และมีระนาบ XY (ระนาบ อะซิมุท, $\theta = \pi/2$) เป็นระนาบ H หลัก

เอกสารนี้เป็นเอกสารที่สงวนไว้สำหรับการใช้งานเพื่อการศึกษาเท่านั้น ไม่อนุญาตให้นำไปใช้ประโยชน์ด้านการค้าไม่ว่ากรณีใดๆ ทั้งสิ้น อีกทั้งห้ามมิให้ดัดแปลงเนื้อหา และต้องอ้างอิงถึงเจ้าของเอกสารทุกครั้งที่มีการนำไปใช้

2.7 โลบของรูปแบบการแพร่กระจายคลื่น

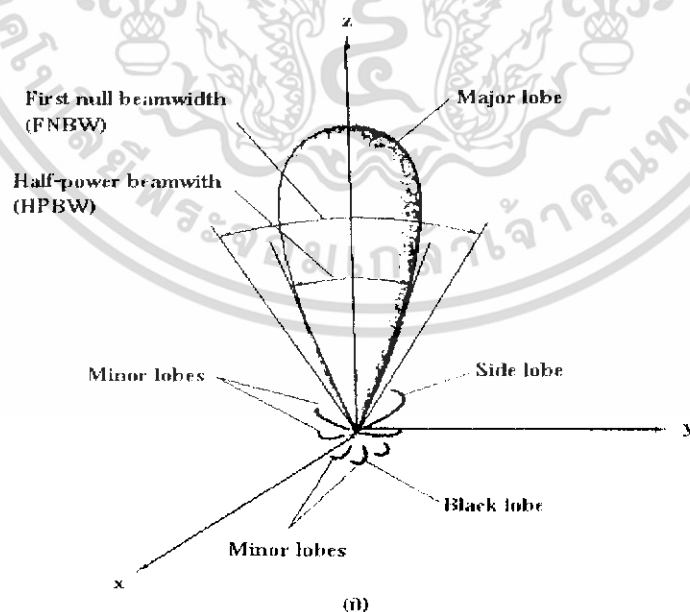
โอบของการแพร่กระจายคลื่น (Radiation Lobe) เป็นส่วนหนึ่งของรูปแบบการแพร่กระจายคลื่นที่เกิดเป็นบริเวณ โดยการปิดล้อมของส่วนที่มีความเข้มข้นของการแพร่กระจายคลื่นตามรูปที่ 2.7 แสดงรูปแบบการแพร่กระจายแบบโพลาร์ (Polar Pattern) แบบสามมิติ ซึ่งแบ่งเป็นโอบแบบต่างๆ ดังนี้

โอบหลัก (Major หรือ Main Lobe) เป็นโอบของการแพร่กระจายคลื่นซึ่งอยู่ในทิศทางที่มีการแพร่กระจายคลื่นแรงที่สุดตามรูปที่ 2.7 มีโอบหลักอยู่ในทิศทาง $\theta = 0$ สำหรับสายอากาศบางชนิดอาจมีโอบหลักมากกว่าหนึ่งโอบ เช่น สายอากาศแบบแยกมีม (Split-beam Antenna)

โอบย่อย (Minor Lobe) ได้แก่ โอบอื่น ๆ นอกเหนือไปจากโอบหลัก

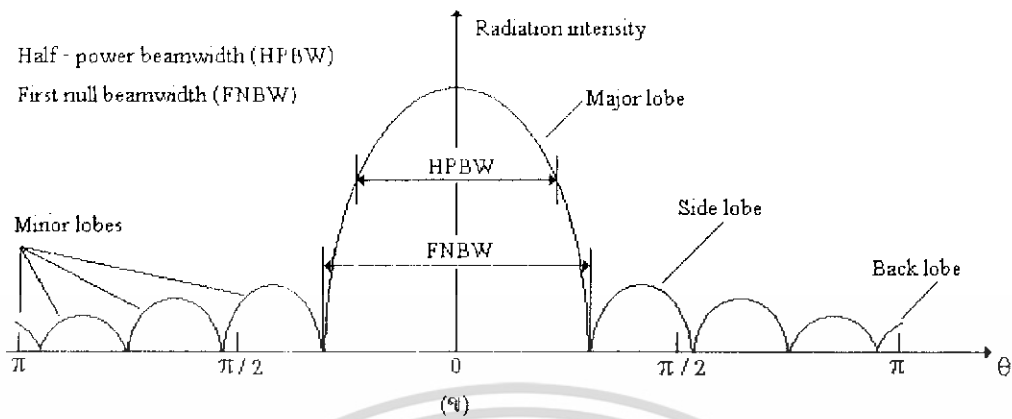
โอบข้าง หรือ ไซด์โอบ (Side Lobe) เป็นโอบย่อยที่อยู่ติดกับโอบหลัก และอยู่ในทิศทางบนครึ่งวงกลมซีกเดียวกับโอบหลัก

โอบหลัง (Back Lobe) เป็นโอบย่อยที่อยู่ในครึ่งวงกลมตรงข้ามกับโอบหลักปกติแล้วโอบย่อยจะเกิดจากการแพร่กระจายคลื่นในทิศทางที่ไม่ต้องการดังนั้นสายอากาศที่ดีจะต้องกำจัดโอบเหล่านี้ให้เหลือน้อยที่สุดระดับของโอบย่อยมักแสดงด้วยอัตราส่วนของความหนาแน่นของพลังงานในโอบที่กำลังคิดต่อความหนาแน่นของพลังงานในโอบหลักซึ่งเรียกว่าอัตราส่วนของไซด์โอบ (Side Lobe Level: SLL) ในทางปฏิบัติโดยทั่วไปนั้นมักจะต้องการให้ระดับของไซด์โอบน้อยกว่า -20 dB



รูปที่ 2.7 โอบต่างๆ และนิมิตต์ของรูปแบบการแพร่กระจายสายอากาศ

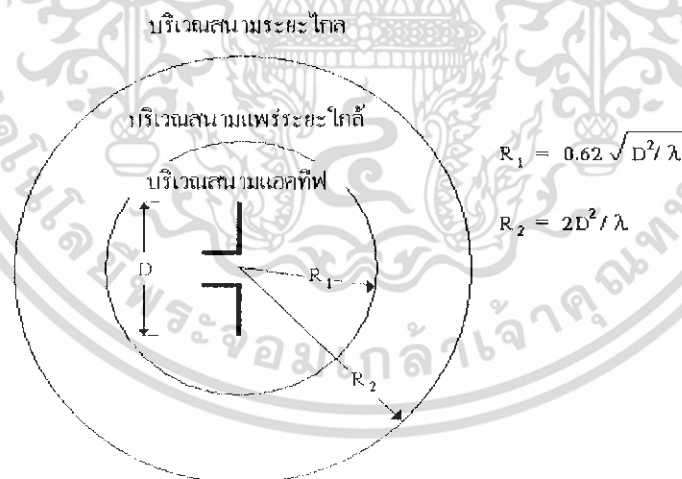
เอกสารนี้เป็นเอกสารที่สงวนไว้สำหรับการใช้งานเพื่อการศึกษาเท่านั้น ไม่อนุญาตให้นำไปใช้ประโยชน์ด้านการค้าไม่ว่ากรณีใดๆ ทั้งสิ้น อีกทั้งห้ามมิให้ดัดแปลงเนื้อหา และต้องอ้างอิงถึงเจ้าของเอกสารทุกครั้งที่มีการนำไปใช้



รูปที่ 2.8 รูปแบบการแพร่กระจายในแบบลิเนียร์

2.8 บริเวณต่าง ๆ ของสายอากาศ

โดยทั่วไปมักจะแบ่งบริเวณที่ล้อมรอบสายอากาศออกเป็น 3 ส่วน คือ สนามรีแอกทีฟที่ระยะใกล้ (Reactive-Near Field) สนามกระจายระยะใกล้ (Radiating-Near Field) และสนามระยะไกล (Far-Field) ดังแสดงในรูปที่ 2.7



รูปที่ 2.9 การแบ่งบริเวณของสนามจากสายอากาศ

บริเวณสนามรีแอกทีฟที่ระยะใกล้ เป็นบริเวณสนามที่ล้อมรอบใกล้สายอากาศมากที่สุด และมีสนามเป็นชนิดรีแอกทีฟเป็นส่วนใหญ่บริเวณนี้จะมียุทธศาสตร์ $R < 0.62 \sqrt{D^3 / \lambda}$ จากผิวของสายอากาศเมื่อ λ เป็นความยาวคลื่นและ D เป็นมิติที่ยาวที่สุดของสายอากาศ

เอกสารนี้เป็นเอกสารที่สงวนไว้สำหรับการใช้งานเพื่อการศึกษาเท่านั้น ไม่อนุญาตให้นำไปใช้ประโยชน์ด้านการค้าไม่ว่ากรณีใดๆ ทั้งสิ้น อีกทั้งห้ามมิให้ดัดแปลงเนื้อหา และต้องอ้างอิงถึงเจ้าของเอกสารทุกครั้งที่มีการนำไปใช้

บริเวณสนามกระจายระยะไกลเป็นบริเวณสนามของสายอากาศที่อยู่ระหว่างบริเวณของสนามรีแอกทีฟระยะใกล้กับบริเวณสนามระยะไกล โดยมีสนามที่กระจายอยู่เป็นส่วนใหญ่ และการกระจายของสนามตามมุมต่าง ๆ นั้นแปรผันตามระยะทางจากสายอากาศ เมื่อสายอากาศมีขนาดเล็กเมื่อเทียบกับความยาวคลื่นสนามในบริเวณนี้อาจไม่เกิดขึ้นในบริเวณนี้จะมีระยะทาง $2D^2 / \lambda > R \geq 0.62 \sqrt{D^3 / \lambda}$ บริเวณสนามระยะไกลเป็นบริเวณสนามของสายอากาศ ซึ่งการแพร่ของสนามของสายอากาศตามมุมต่าง ๆ ไม่ขึ้นกับระยะทางจากสายอากาศมีมิติใหญ่ที่สุดเท่ากับ D บริเวณสนามระยะไกลจะเกิดขึ้นที่ระยะทาง $R > 2D^2 / \lambda$ จากสายอากาศในบริเวณนี้สามารถมีลักษณะเป็นสนามตัดขวาง (Transverse Field) และการแพร่กระจายของสนามตามมุมต่าง ๆ ไม่ขึ้นกับระยะทางขอบในของบริเวณดังกล่าวมีค่า $R \approx 2D^2 / \lambda$ และขอบนอกเป็นอนันต์

2.9 ปีมิวิตซ์ของสายอากาศ

ค่าปีมิวิตซ์ (Beamwidth) ของสายอากาศเป็นการบอกมุมที่รับส่งสัญญาณได้ดีที่สุดของสายอากาศนั้นๆ หากดูได้จาก Product Specification ของผู้ผลิตสายอากาศนั้นๆ มักถูกแบ่งเป็นสองแนวคือปีมิวิตซ์แนวตั้ง (Vertical Beamwidth) และ ปีมิวิตซ์แนวนอน (Horizontal Beamwidth) ก็หมายถึงมุมที่รับส่งสัญญาณได้ดีที่สุด เมื่อวางสายอากาศนั้นๆ การที่เราปีมิวิตซ์ กว้างๆ นั้นเราจะส่งสัญญาณได้ไกล เช่น สายอากาศแบบรอบตัวมักจะมีปีมิวิตซ์ 360 องศา นั้นหมายถึงคุณสามารถรับส่งสัญญาณได้ดีที่สุด ได้ในทุกๆ ทิศทาง แต่ระยะรับส่งจะใกล้ เพียงไม่กี่ร้อยเมตรเท่านั้น หรือสายอากาศแบบทิศทางที่มีปีมิวิตซ์ที่แคบมากๆ คุณสามารถมีระยะรับส่งที่ไกลถึงไกลมากๆ ประมาณหลายสิบกิโลเมตรแต่มุมของสายอากาศหรือปีมิวิตซ์ นั้นแคบมากๆ การใช้งานจะต้องปรับมุมของสายอากาศให้ตรงกับมุมปีมิวิตซ์จริงๆ ถึงสามารถรับส่งสัญญาณได้ ดังนั้นการเลือกสายอากาศควรพิจารณาค่าปีมิวิตซ์ ด้วย

2.9.1 วิธีหาค่าปีมิวิตซ์สายอากาศ

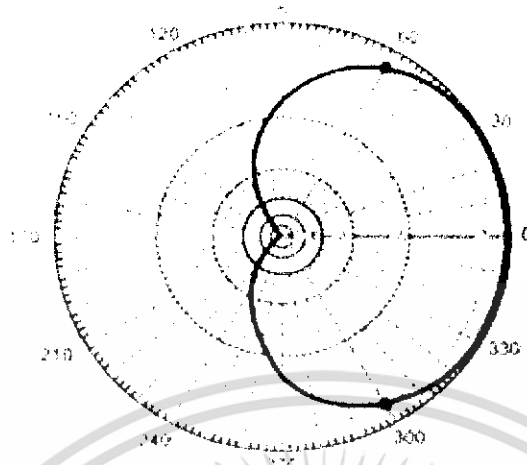
วิธีการหาค่าสายอากาศแบบง่าย

1. เตรียม Pattern ของแนวที่เราจะจัดวาง
2. จาก Pattern ลดกำลังส่งลง 3 dB หรือครึ่งหนึ่งของกำลังส่ง
3. หาจุดที่ Pattern ที่ตัดกับเส้นที่ถูกลดลง 3 dB
4. ลากเส้นจากจุดศูนย์กลางตัดกับจุดที่ตัดกับเส้นที่ถูกลดลง 3 dB แค่นี้ก็ได้ค่าปีมิวิตซ์ แล้ว

ครบ แต่จริงๆ แล้วผู้ผลิตสายอากาศจะบอกค่าปีมิวิตซ์ มาอยู่แล้ว

เอกสารนี้เป็นเอกสารที่สงวนไว้สำหรับการใช้งานเพื่อการศึกษาเท่านั้น ไม่อนุญาตให้นำไปใช้ประโยชน์ด้านการค้า

ไม่ว่ากรณีใดๆ ทั้งสิ้น อีกทั้งห้ามมิให้ดัดแปลงเนื้อหา และต้องอ้างอิงถึงเจ้าของเอกสารทุกครั้งที่มีการนำไปใช้



รูปที่ 2.10 ตัวอย่างการหาค่าบีมวิดธ์จากเพทเทอร์นสายอากาศ

จากรูปเส้นบางคือเส้นรัศมีเมื่อลดกำลังส่งลง 3 dB จุดสีดำคือจุดตัดเส้นประคือมุมของ บีมวิดธ์ สรุปแล้ว Pattern สายอากาศตัวนี้มีค่าบีมวิดธ์ 120 องศา

2.10 ความหนาแน่นของการแพร่กระจายคลื่น

เนื่องจากสนามแม่เหล็กไฟฟ้าใช้ในการส่งผ่านตัวกลางถูกกำหนดให้มีความสัมพันธ์กับพลังงานและกำลังไฟฟ้าโดยใช้ตัวความสัมพันธ์ดังกล่าวได้แก่พอยดิงเวกเตอร์ชั่วขณะเวลานั้น (Instantaneous Pointing Vector) ซึ่งมีสมการแสดงความสัมพันธ์ดังนี้คือ

$$W = \xi \times \mathcal{H} \quad (2.1)$$

เมื่อ

W - พอยดิงเวกเตอร์ชั่วขณะเวลานั้น (W / m^2)

ξ - ความเข้มสนามไฟฟ้าชั่วขณะเวลานั้น (V / m)

\mathcal{H} - ความเข้มสนามแม่เหล็กชั่วขณะเวลานั้น (A / m)

เนื่องจากพอยดิงเวกเตอร์มีความหมายแสดงถึงความหนาแน่นของกำลังงานดังนั้นกำลังงานทั้งหมดที่พุ่งตัดผ่านพื้นผิวปิดจะสามารถหาได้โดยอินทิเกรตส่วนของพอยดิงเวกเตอร์ที่ตั้งฉากกับผิวทั้งหมดซึ่งเมื่อเขียนเป็นสมการจะได้

เมื่อ P = กำลังงานทั้งหมดซึ่งขณะเวลานั้น (W)

เอกสารนี้เป็นเอกสารที่สงวนไว้สำหรับการใช้งานเพื่อการศึกษาเท่านั้น ไม่อนุญาตให้นำไปใช้ประโยชน์ด้านการค้าไม่ว่ากรณีใดๆ ทั้งสิ้น อีกทั้งห้ามมิให้ดัดแปลงเนื้อหา และต้องอ้างอิงถึงเจ้าของเอกสารทุกครั้งที่มีการนำไปใช้

da = พื้นที่จวบจนพื้นที่ปิด (m^2)

$$P = \iint_S \mathbf{W} \cdot \bar{ds} = \iint_S \mathbf{W} \cdot \bar{nda} \quad (2.3)$$

ในกรณีของสนามที่แปรผันกับเวลามักจะหาค่าเฉลี่ยของความหนาแน่นของกำลังงานได้ โดยการอินทิเกรตค่าพอยดิงเวกเตอร์ชั่วขณะเวลานั้นตลอด 1 คาบ แล้วหารด้วยคาบเวลานั้นสำหรับสนามที่แปรผันกับเวลา ซึ่งกระจายเป็นฮาร์โมนิกในรูป $e^{j\omega t}$ เมื่อกำหนดสนาม \bar{E} และ \bar{H} เป็นสนามไฟฟ้าและสนามแม่เหล็กเชิงซ้อนแล้วจะหาความสัมพันธ์กับค่า ξ และ \mathcal{H} ชั่วขณะเวลาใด ๆ ได้จาก

$$\xi(x, y, z; t) = \text{Re} [\bar{E}(x, y, z) e^{j\omega t}] \quad (2.3)$$

$$\mathcal{H}(x, y, z; t) = \text{Re} [\bar{H}(x, y, z) e^{j\omega t}] \quad (2.4)$$

จาก (2.3), (2.4) และ โดยอาศัย $\text{Re} [E e^{j\omega t}] = \frac{1}{2} [E e^{j\omega t} + E^* e^{-j\omega t}]$ สมการ (2.1) จะเขียนได้ใหม่เป็น

$$\mathbf{W} = \xi \times \mathcal{H} = \frac{1}{2} \text{Re} [\bar{E} \times \bar{H}^*] + \frac{1}{2} \text{Re} [\bar{E} \times \bar{H} e^{j\omega t}] \quad (2.5)$$

เทอมแรกของ (2.5) ไม่เป็นฟังก์ชันของเวลาและเทอมที่สองมีการเปลี่ยนแปลงตามเวลาเป็นสองเท่าของความถี่ที่กำหนดให้ ดังนั้นค่าเฉลี่ยของพอยดิงเวกเตอร์จึงสามารถที่จะหาได้เป็น

$$\mathbf{W}_{av}(x, y, z) = [\mathbf{W}(x, y, z; t)]_{AV} = \frac{1}{2} \text{Re} [\bar{E} \times \bar{H}^*] \quad (W/m^2) \quad (2.6)$$

ตัวประกอบ $\frac{1}{2}$ ใน (2.5) และ (2.6) เกิดขึ้นเพราะสนาม E และ H เป็นค่าสูงสุดไม่ใช่ค่า จาก rms (2.6) กำลังเฉลี่ยที่แพร่กระจายจากสายอากาศ จะเขียนได้เป็น

$$P_{rad} = P_{av} = \iint_S \bar{W}_{rad} \cdot \bar{ds} = \frac{1}{2} \iint_S \text{Re} (\bar{E} \times \bar{H}^*) \cdot \bar{ds} \quad (2.7)$$

2.11 ความเข้มของการแพร่กระจายคลื่น

คำจำกัดความของความเข้มของการแพร่กระจายคลื่นในทิศทางที่กำหนดให้คือ กำลังงานที่แพร่ออกจากสายอากาศต่อมุมตัน (Solid Angle) ความเข้มของการแพร่กระจายคลื่นเป็นพารามิเตอร์ที่สำคัญอย่างหนึ่งในการแสดงคุณสมบัติของสายอากาศเกี่ยวกับสนามระยะไกลความเข้มของการเอกสารนี้เป็นเอกสารที่สงวนไว้สำหรับการใช้งานเพื่อการศึกษาเท่านั้น ไม่อนุญาตให้นำไปใช้ประโยชน์ด้านการค้า ไม่ว่าจะกรณีใดๆ ทั้งสิ้น อีกทั้งห้ามมิให้ดัดแปลงเนื้อหา และต้องอ้างอิงถึงเจ้าของเอกสารทุกครั้งที่มีการนำไปใช้

แพร่กระจายคลื่นสามารถหาได้ ผลลัพท์ของความหนาแน่นของการแพร่กระจายคลื่น ผลจากการยกกำลังสองของระยะทาง ซึ่งเขียนเป็นสมการได้ดังนี้คือ

$$U = r^2 W_{\text{rad}} \quad (2.8)$$

เมื่อ U = ความเข้มของการแพร่กระจายคลื่น (W/หน่วยมุดัน)

W_{rad} = ความหนาแน่นของการแพร่กระจายคลื่น (W/m^2)

ความเข้มของการแพร่กระจายคลื่นถ้าจะเขียนแสดงความสัมพันธ์กับสนามไฟฟ้าของสายอากาศในระยะไกลได้คือ

$$U(\theta, \phi) = \frac{1}{2\eta} \left[|E_\theta(\theta, \phi)|^2 + |E_\phi(\theta, \phi)|^2 \right] \quad (2.9)$$

เมื่อ \vec{E} = ความเข้มของสนามไฟฟ้าของสายอากาศในระยะไกล

E_θ, E_ϕ = ส่วนประกอบของสนามไฟฟ้าของสายอากาศในระยะไกล

η = อินทรินสิคอิมพีแดนซ์ (Intrinsic Impedance) ของตัวกลาง

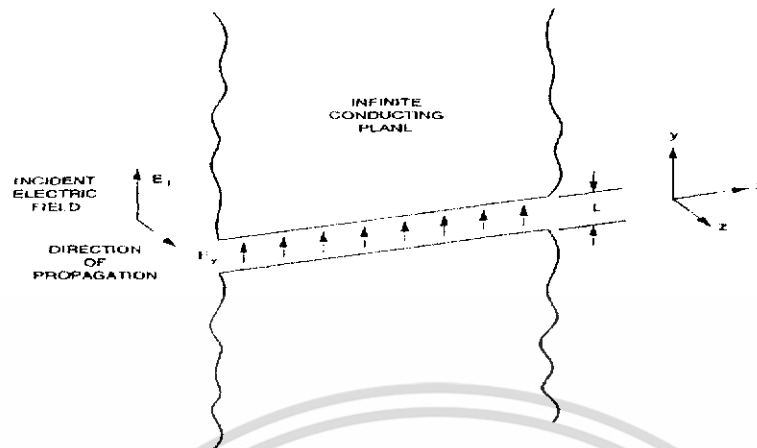
ดังนั้นรูปแบบของการแพร่กระจายคลื่นของกำลังงานก็ใช้เพื่อแสดงถึงความเข้มของการแพร่กระจายคลื่นได้เช่นกัน กำลังทั้งหมดนี้หาได้โดยอินทิเกรตความเข้มของการแพร่กระจายคลื่น (2.8) ตลอดมุมตัน 4π ทั้งหมดซึ่งจะได้

$$P_{\text{rad}} = \int_0^{2\pi} \int_0^\pi U \sin \theta d\theta d\phi \quad (2.10)$$

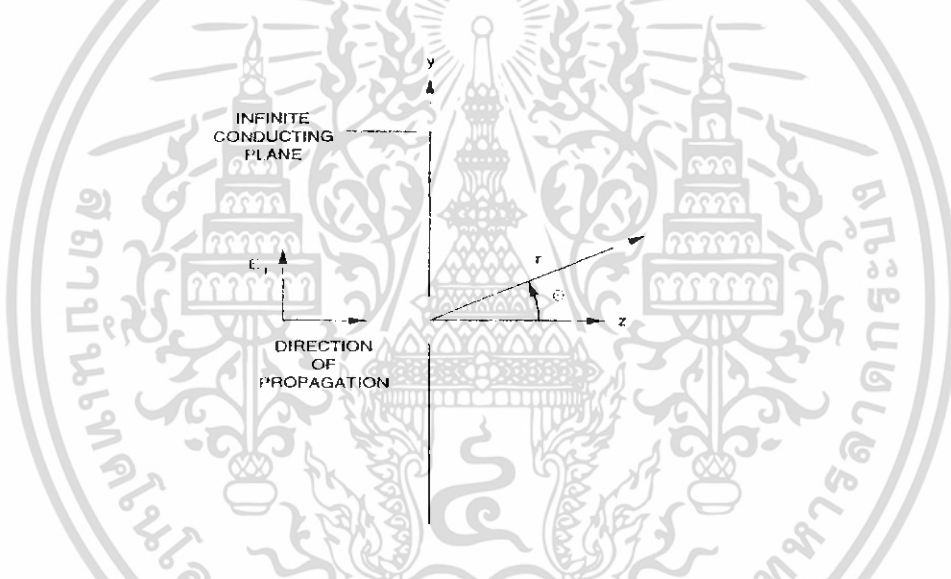
2.12 การแพร่กระจายกำลังงานจากระยะยาวอนันต์ (Infinite Slit)

จากรูปที่ 2.9 แสดงระนาบของคลื่นซึ่งเกิดขึ้นบนช่องในระนาบของตัวนำ โดยที่ช่องจะมีความยาวเป็นอนันต์ในทิศทางของแกน X ความกว้าง l ในทิศทางของแกน Y จะแคบมาก ส่วนระนาบของคลื่นจะเดินทางในทิศทางตามแกน Z

เอกสารนี้เป็นเอกสารที่สงวนไว้สำหรับการใช้งานเพื่อการศึกษาเท่านั้น ไม่อนุญาตให้นำไปใช้ประโยชน์ด้านการค้าไม่ว่ากรณีใดๆ ทั้งสิ้น อีกทั้งห้ามมิให้ดัดแปลงเนื้อหา และต้องอ้างอิงถึงเจ้าของเอกสารทุกครั้งที่มีการนำไปใช้



รูปที่ 2.11 การแผ่กระจายกำลังงานจากร่องยาวอนันต์ (Infinite Slit)



รูปที่ 2.12 มุมมองด้านข้าง (Side View) ของร่องที่ยาวอนันต์ (Infinite Slit)

การแผ่กระจายของสนามในทิศทางของแกน Y กำหนดได้โดย

$$E_y = E_0 e^{-j\beta z} \quad (2.11)$$

เมื่อ E_y คือ สนามในทิศทางของแกน Y

E_0 คือ ค่าสูงสุดของ E_y

β คือ ค่าคงที่ของการเดินทางของคลื่น (Propagation Constant) มีค่าเท่ากับ $2\pi/\lambda$

การแผ่กระจายของสนามในทิศทางของ θ ได้แก่

เอกสารนี้เป็นเอกสารที่สงวนไว้สำหรับการใช้งานเพื่อการศึกษาเท่านั้น ไม่อนุญาตให้นำไปใช้ประโยชน์ด้านการค้า ไม่ว่าจะกรณีใดๆ ทั้งสิ้น อีกทั้งห้ามมิให้ดัดแปลงเนื้อหา และต้องอ้างอิงถึงเจ้าของเอกสารทุกครั้งที่มีการนำไปใช้

ฟ้าหักหอดสญลกลาง พระจอมเกล้าลาดกระบัง

$$E_{\theta} = j\beta \frac{e^{-j\beta r}}{2\pi r} E_0 L \frac{\sin[(\beta L/2)\sin\theta]}{(\beta L/2)\sin\theta} \quad (2.12)$$

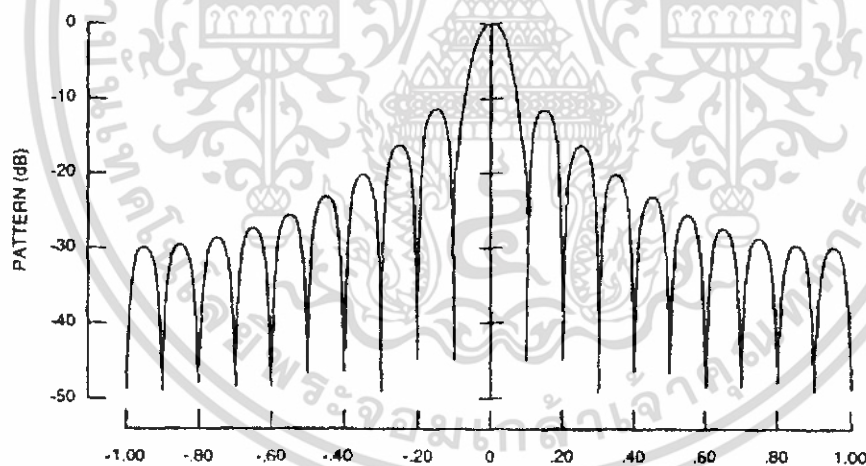
เมื่อ θ คือ มุมที่แสดงในรูปที่ 2.2

R คือ ระยะทางจากระเบียง (Slit)

ส่วนที่ 2 ของสมการ (2.12) คือส่วนที่เราต้องสนใจเป็นอย่างยิ่ง เนื่องจากจะให้แบบรูปการแผ่กระจายกำลังงานแบบนอร์แมลไลซ์ (Normalized Radiation Pattern): $F(\theta)$

$$F(\theta) = \frac{\sin[(\beta L/2)\sin\theta]}{(\beta L/2)\sin\theta} \quad (2.13)$$

จากสมการ $(\sin x)/x$ มีรูปแบบในรูปของกราฟในรูปที่ 2.11

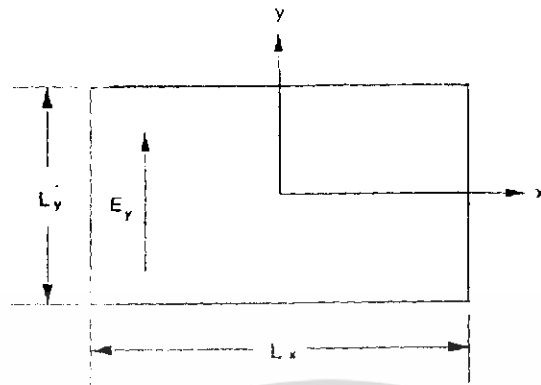


รูปที่ 2.13 กราฟของ $(\sin x)/x$

การแผ่กระจายกำลังงานจากระเบียงแบบสี่เหลี่ยมมุมฉากสม่ำเสมอ (Uniform Rectangular Aperture) พิจารณาที่หน้าคลื่นเกิดรูปสี่เหลี่ยมมุมฉากซึ่งทำหน้าที่เป็นสายอากาศแบบช่องเปิด (Aperture Antenna) โดยมีภาพตัดขวางแสดงในรูปที่ 2.12

เอกสารนี้เป็นเอกสารที่สงวนไว้สำหรับการใช้งานเพื่อการศึกษาเท่านั้น ไม่อนุญาตให้นำไปใช้ประโยชน์ด้านการค้า
ไม่ว่ากรณีใดๆ ทั้งสิ้น อีกทั้งห้ามมิให้ดัดแปลงเนื้อหา และต้องอ้างอิงถึงเจ้าของเอกสารทุกครั้งที่มีการนำไปใช้

62720



รูปที่ 2.14 ช่องเปิดรูปสี่เหลี่ยมมุมฉาก

สนามในระนาบสนามไฟฟ้า จะหาได้จากสมการ

$$E_{\theta} = j\beta \frac{e^{-j\beta r}}{2\pi r} E_0 L_x L_y \frac{\sin[(\beta L_y / 2) \sin \theta]}{(\beta L_y / 2) \sin \theta} \quad (2.14)$$

ซึ่งจะให้แบบรูปการแผ่กระจายกำลังงานออร์เมทัลไลซ์ ดังสมการ

$$F_E(\theta) = \frac{\sin[(\beta L_y / 2) \sin \theta]}{(\beta L_y / 2) \sin \theta} \quad (2.15)$$

ส่วนสนามในระนาบสนามแม่เหล็ก จะหาได้จากสมการ

$$E_{\phi} = j\beta \frac{e^{-j\beta r}}{2\pi r} E_0 L_x L_y \frac{\sin[(\beta L_x / 2) \sin \theta]}{(\beta L_x / 2) \sin \theta} \quad (2.16)$$

ซึ่งจะให้แบบรูปการแผ่กระจายกำลังงานออร์เมทัลไลซ์ ดังสมการ

$$F_H(\theta) = \cos \frac{\sin[(\beta L_x / 2) \sin \theta]}{(\beta L_x / 2) \sin \theta} \quad (2.17)$$

สมการที่แสดงแบบรูปการแผ่กระจายกำลังงานออร์เมทัลไลซ์ทั้งสองสมการ จะอยู่ในรูปของ $(\sin x)/x$ ดังนั้นผลรวมของสมการแบบรูปการแผ่กระจายกำลังงานออร์เมทัลไลซ์ ก็คือ ผลรวมของ $(\sin x)/x$ ในระนาบสนามไฟฟ้า และ $(\sin x)/x$ ในระนาบสนามแม่เหล็ก

เอกสารนี้เป็นเอกสารที่สงวนไว้สำหรับการใช้งานเพื่อการศึกษาเท่านั้น ไม่อนุญาตให้นำไปใช้ประโยชน์ด้านการค้า ไม่ว่าจะกรณีใดๆ ทั้งสิ้น อีกทั้งห้ามมิให้ดัดแปลงเนื้อหา และต้องอ้างอิงถึงเจ้าของเอกสารทุกครั้งที่มีการนำไปใช้

ความหมายของสัญลักษณ์ที่ใช้ในการอธิบายพารามิเตอร์ของสายอากาศสัญลักษณ์และพารามิเตอร์ต่างๆ ที่จำเป็นต้องใช้อธิบายคุณสมบัติ มีดังต่อไปนี้

P_o คือ กำลังงานที่ป้อนให้กับสายอากาศตัวส่ง (หน่วยเป็น วัตต์)

P_{rad} คือ กำลังงานที่แผ่กระจายออกไปโดยสายอากาศตัวส่ง (หน่วยเป็น วัตต์)

η คือ ประสิทธิภาพการแผ่กระจายกำลังงาน $\eta = P_{rad} / P_o$ (ไม่มีหน่วย)

Φ คือ ความเข้มของการแผ่กระจายกำลังงาน (Radiation Intensity) (หน่วยเป็น วัตต์ต่อสเตอริแอดิเยน)

สเตอริแอดิเยน (Steradian; sr) คือ หน่วยของมุมตัน (Solid Angle) ซึ่งทรงกลมหนึ่งๆจะมีค่า 4π สเตอริแอดิเยน ดังนั้นเราสามารถกำหนดให้ค่าเฉลี่ยของความเข้มการแผ่กระจายกำลังงานได้เป็น

$$\phi_{avg} = \frac{P_{rad}}{4\pi} \text{ (W/sr)} \quad (2.18)$$

D คือค่าสภาพเจาะจงทิศทาง (Directivity) (ไม่มีหน่วย)

ค่าสภาพเจาะจงทิศทาง คือ ค่าความเข้มของการแผ่กระจายกำลังงานสูงสุดในทิศทางที่กำหนดโดยเทียบกับความเข้มการแผ่กระจายกำลังงานเฉลี่ย (Average Radiation Intensity) ของสายอากาศแบบไอโซทรอปิก (Isotropic Antenna)

$$D = \frac{\phi_{max}}{\phi_{avg}} = \frac{\phi_{max}}{P_{rad} / 4\pi} \quad (2.19)$$

G คือ อัตราขยายของสายอากาศ (Antenna Gain) หรือ อัตราขยายเจาะจงทิศทาง (Directive Gain) (ไม่มีหน่วย)

สำหรับสายอากาศแบบไม่มีการสูญเสีย ค่าอัตราขยายของสายอากาศหรืออัตราขยายเจาะจงทิศทางจะมีค่าเท่ากับค่าสภาพเจาะจงทิศทาง อย่างไรก็ตามสำหรับสายอากาศที่มีค่าประสิทธิภาพการแผ่กระจายน้อยกว่า 1 (100%) จะมีค่าอัตราขยายแตกต่างกัน นั่นคือ

$$G = \eta D \quad (2.20)$$

คือ มุมตันของลำคลื่นของสายอากาศ (Antenna Beam Solid Angle) (หน่วยเป็นสเตอริแอดิเยน)

เอกสารนี้เป็นเอกสารที่สงวนไว้สำหรับใช้เพื่อการเรียนการสอนเท่านั้น เมื่อผู้จัดทำเห็นประโยชน์ด้านการค้า

ไม่ว่ากรณีใดๆ ทั้งสิ้น อีกทั้งห้ามมิให้ดัดแปลงเนื้อหา และต้องอ้างอิงถึงเจ้าของเอกสารทุกครั้งที่มีการนำไปใช้

จะสอดคล้องกันกับมุมตัน (Solid Angle) จะนำมาใช้ในการหาค่ากำลังงานที่แผ่กระจายออกมาทั้งหมด (P_{rad}) ที่ระดับความเข้มของการแผ่กระจายกำลังงานสูงสุด f_{max}

$$P_{rad} = \Omega_a \phi_{max} \quad (2.21)$$

จะได้สมการสำหรับหาค่าสภาพเจาะจงทิศทางอีกสมการหนึ่ง คือ

$$D = \frac{4\pi}{\Omega_a} \quad (2.22)$$

A_e คือ พื้นที่ประสิทธิผล (Effective Area) หรือ ช่องเปิดประสิทธิผล (Effective Aperture) (หน่วยเป็นตารางเมตร)

$$G = \frac{4\pi}{\lambda^2} A_e \quad (2.23)$$

นามในระนาบสนามไฟฟ้า จะหาได้จากสมการ

$$E_\theta = j\beta \frac{e^{-j\beta r}}{2\pi r} E_0 L_x L_y \frac{\sin[(\beta L_y / 2) \sin \theta]}{(\beta L_y / 2) \sin \theta} \quad (2.24)$$

ซึ่งจะให้แบบรูปการแผ่กระจายกำลังงานนอร์มัลไลซ์ ดังสมการ

$$F_E(\theta) = \frac{\sin[(\beta L_y / 2) \sin \theta]}{(\beta L_y / 2) \sin \theta} \quad (2.25)$$

ส่วนสนามในระนาบสนามแม่เหล็ก จะหาได้จากสมการ

$$E_\phi = j\beta \frac{e^{-j\beta r}}{2\pi r} E_0 L_x L_y \frac{\sin[(\beta L_x / 2) \sin \theta]}{(\beta L_x / 2) \sin \theta} \quad (2.26)$$

ซึ่งจะให้แบบรูปการแผ่กระจายกำลังงานนอร์มัลไลซ์ ดังสมการ

$$F_H(\theta) = \cos \frac{\sin[(\beta L_x / 2) \sin \theta]}{(\beta L_x / 2) \sin \theta} \quad (2.27)$$

เอกสารนี้เป็นเอกสารที่สงวนไว้สำหรับการใช้งานเพื่อการศึกษาเท่านั้น ไม่อนุญาตให้นำไปใช้ประโยชน์ด้านการค้า ไม่ว่าจะกรณีใดๆ ทั้งสิ้น อีกทั้งห้ามมิให้ดัดแปลงเนื้อหา และต้องอ้างอิงถึงเจ้าของเอกสารทุกครั้งที่มีการนำไปใช้

สมการที่แสดงแบบรูปการแผ่กระจายกำลังงานออร์เมทิลไลท์ทั้งสองสมการ จะอยู่ในรูปของ $(\sin x)/x$ ดังนั้นผลรวมของสมการแบบรูปการแผ่กระจายกำลังงานออร์เมทิลไลท์ ก็คือ ผลรวมของ $(\sin x)/x$ ในระนาบสนามไฟฟ้า และ $(\sin x)/x$ ในระนาบสนามแม่เหล็ก

ความหมายของสัญลักษณ์ที่ใช้ในการอธิบายพารามิเตอร์ของสายอากาศ สัญลักษณ์และพารามิเตอร์ต่างๆ ที่จำเป็นต้องใช้อธิบายคุณสมบัติ มีดังต่อไปนี้

P_o คือ กำลังงานที่ป้อนให้กับสายอากาศตัวส่ง (หน่วยเป็น วัตต์)

P_{rad} คือ กำลังงานที่แผ่กระจายออกไปโดยสายอากาศตัวส่ง (หน่วยเป็น วัตต์)

η คือ ประสิทธิภาพการแผ่กระจายกำลังงาน $\eta = P_{rad}/P_o$ (ไม่มีหน่วย)

สายอากาศส่วนใหญ่จะมีประสิทธิภาพการแผ่กระจายกำลังงาน (Radiation Efficiency) จะมีค่าใกล้เคียง 1 หรือ 100% อย่างไรก็ตามสำหรับสายอากาศบางชนิดเช่น สายอากาศแบบเส้นลวดสั้น (Short-Wire) ตัวอย่างเช่น สายอากาศไดโพลอุดมคติ ที่ได้อธิบายไปแล้วในแบบฝึกหัด 1-1 จะมีประสิทธิภาพการแผ่กระจายกำลังงานค่อนข้างต่ำ

Φ คือ ความเข้มของการแผ่กระจายกำลังงาน (Radiation Intensity) (หน่วยเป็น วัตต์ต่อสเตอริเดียน)

สเตอริเดียน (Steradian; sr) คือ หน่วยของมุมตัน (Solid Angle) ซึ่งทรงกลมหนึ่งๆจะมีค่า 4π สเตอริเดียน ดังนั้นเราสามารถกำหนดให้ค่าเฉลี่ยของความเข้มการแผ่กระจายกำลังงานได้เป็น

$$\phi_{avg} = \frac{P_{rad}}{4\pi} \text{ (W/sr)} \quad (2.28)$$

D คือ ค่าสภาพเจาะจงทิศทาง (Directivity) (ไม่มีหน่วย)

ค่าสภาพเจาะจงทิศทาง คือ ค่าความเข้มของการแผ่กระจายกำลังงานสูงสุดในทิศทางที่กำหนด โดยเทียบกับความเข้มการแผ่กระจายกำลังงานเฉลี่ย (Average Radiation Intensity) ของสายอากาศแบบไอโซทรอปิก (Isotropic Antenna)

$$D = \frac{\phi_{max}}{\phi_{avg}} = \frac{\phi_{max}}{P_{rad}/4\pi} \quad (2.29)$$

เอกสารนี้เป็นเอกสารที่สงวนไว้สำหรับการใช้งานเพื่อการศึกษาเท่านั้น ไม่อนุญาตให้นำไปใช้ประโยชน์ด้านการค้าไม่ว่ากรณีใดๆ ทั้งสิ้น อีกทั้งห้ามมิให้ดัดแปลงเนื้อหา และต้องอ้างอิงถึงเจ้าของเอกสารทุกครั้งที่มีการนำไปใช้

G คือ อัตราขยายของสายอากาศ (Antenna Gain) หรือ อัตราขยายเจาะจงทิศทาง (Directive Gain) (ไม่มีหน่วย)

สำหรับสายอากาศแบบไม่มีการสูญเสีย ค่าอัตราขยายของสายอากาศหรืออัตราขยายเจาะจงทิศทางจะมีค่าเท่ากับค่าสภาพเจาะจงทิศทาง อย่างไรก็ตามสำหรับสายอากาศที่มีค่าประสิทธิภาพการแผ่กระจายน้อยกว่า 1 (100%) จะมีค่าอัตราขยายแตกต่างกันคือ

$$G = \eta D \quad (2.30)$$

Ω_a คือ มุมตันของลำคลื่นของสายอากาศ (Antenna Beam Solid Angle) (หน่วยเป็นสเตอเรเดียน)

Ω_a จะสอดคล้องกันกับมุมตัน (Solid Angle) จะนำมาใช้ในการหาค่ากำลังงานที่แผ่กระจายออกมาทั้งหมด (P_{rad}) ที่ระดับความเข้มของการแผ่กระจายกำลังงานสูงสุด f_{max}

$$P_{rad} = \Omega_a \phi_{max} \quad (2.31)$$

จะได้สมการสำหรับหาค่าสภาพเจาะจงทิศทางอีกสมการหนึ่ง คือ

$$D = \frac{4\pi}{\Omega_a} \quad (2.32)$$

A_e คือ พื้นที่ประสิทธิผล (Effective Area) หรือ ช่องเปิดประสิทธิผล (Effective Aperture) (หน่วยเป็นตารางเมตร)

ค่าพื้นที่ประสิทธิผลจะเป็นไปตามขนาดพื้นที่การดูดกลืนคลื่น ซึ่งแสดงโดยตัวสายอากาศเมื่อคลื่นเข้ามาตกกระทบตัวมัน ในกรณีของสายอากาศแบบช่องเปิดนั้น จะมีค่า A_e เท่ากันหรือน้อยกว่าพื้นที่ของช่องเปิดทางกายภาพ (Physical Aperture) ความสัมพันธ์ระหว่างอัตราขยายกับความยาวคลื่น (λ และ A_e อยู่ในหน่วยที่เหมือนกัน) จะเท่ากับ

$$G = \frac{4\pi}{\lambda^2} A_e \quad (2.33)$$

เอกสารนี้เป็นเอกสารที่สงวนไว้สำหรับการใช้งานเพื่อการศึกษาเท่านั้น ไม่อนุญาตให้นำไปใช้ประโยชน์ด้านการค้าไม่ว่ากรณีใดๆ ทั้งสิ้น อีกทั้งห้ามมิให้ดัดแปลงเนื้อหา และต้องอ้างอิงถึงเจ้าของเอกสารทุกครั้งที่มีการนำไปใช้

η_{ap} คือ อัตราส่วนระหว่างค่าพื้นที่ประสิทธิผล A_e และค่าพื้นที่ทางกายภาพของช่องเปิดของสายอากาศแบบช่องเปิด ซึ่งบ่อยครั้งจะประมาณการไว้ที่ค่า 50% ของ A_e ซึ่งเป็นค่าประมาณสำหรับคิดค่าประสิทธิภาพของช่องเปิด

$$\eta_{ap} = \frac{A_e}{A_p} \quad (2.34)$$

เป็นอัตราส่วนเปรียบเทียบความแรงของสัญญาณที่ต้องการส่งในทิศทางที่ต้องการกับความแรงของสัญญาณในทิศทางตรงกันข้าม ประโยชน์อีกอย่างหนึ่งคือใช้อธิบายความสามารถของสายอากาศเพื่อให้เห็นถึงความแตกต่างระหว่างสัญญาณที่เข้ามาจากด้านหน้าและสัญญาณที่ได้มาจากด้านหลังเมื่อสายอากาศถูกใช้เป็นตัวรับ

$$F/B = \text{Main Lobe (dB)} - \text{Back Lobe (dB)} \quad (2.35)$$

F/B คือ อัตราส่วนด้านหน้าต่อด้านหลัง (Front-to-Back Ratio) (หน่วยเป็น เดซิเบล)

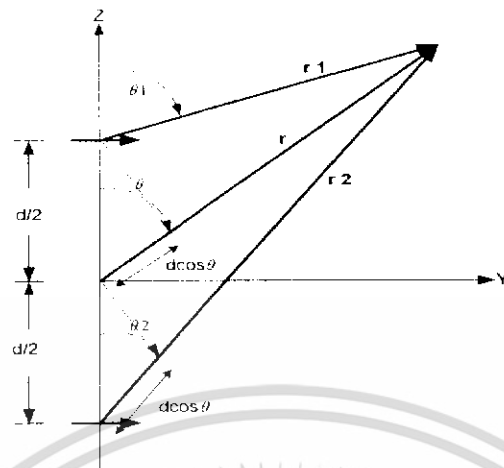
2.13 สายอากาศไมโครสตริปอาร์เรย์ (Microstrip Array)

การศึกษาคูณสมการแพร่กระจายคลื่นสายอากาศไมโครสตริปอิลิเมนต์เดี่ยว (Single) จะมีแพทเทิร์นค่อนข้างกว้างและมีอัตราขยายค่อนข้างต่ำ ดังนั้นจึงมีการเพิ่มประสิทธิภาพของสายอากาศ จึงต้องนำสายอากาศมาหนึ่งอิลิเมนต์มาจัดเรียงกันเป็นแบบอาร์เรย์

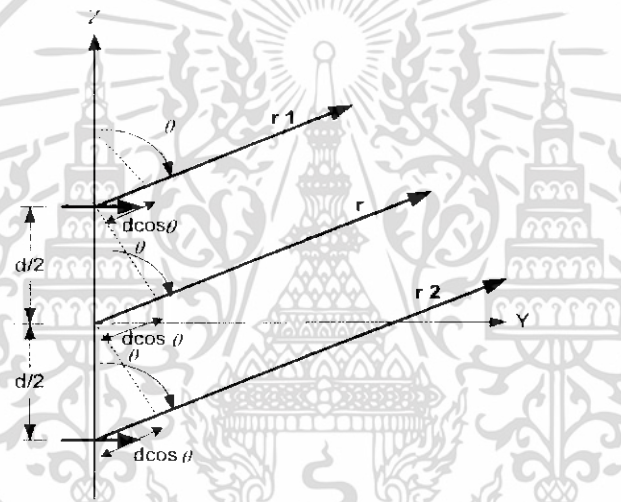
2.13.1 สายอากาศอาร์เรย์แบบ 2 อิลิเมนต์ (Two-element array)

สมมติสายอากาศใด โพลขนานจิว 2 ตัว วางตามแนวนอนและเรียงตามแกน Z ดังแสดงในรูปที่ และสมมติว่าไม่มีการคัปปลิงระหว่างอิลิเมนต์ทั้งสอง ดังนั้นสนามที่แพร่กระจายของสายอากาศจิวทั้งสองจะเป็นผลรวมของสายอากาศทั้งสอง

เอกสารนี้เป็นเอกสารที่สงวนไว้สำหรับการใช้งานเพื่อการศึกษาเท่านั้น ไม่อนุญาตให้นำไปใช้ประโยชน์ด้านการค้าไม่ว่ากรณีใดๆ ทั้งสิ้น อีกทั้งห้ามมิให้ดัดแปลงเนื้อหา และต้องอ้างอิงถึงเจ้าของเอกสารทุกครั้งที่มีการนำไปใช้



(a)



(b)

รูปที่ 2.15 สายอากาศอาร์เรย์แบบ 2 อิลิเมนต์ ที่วางตามแนวแกน Z

(a) สายอากาศไดโพลขนานจั่ว 2 ตัว

(b) สนามระยะไกลที่สังเกต

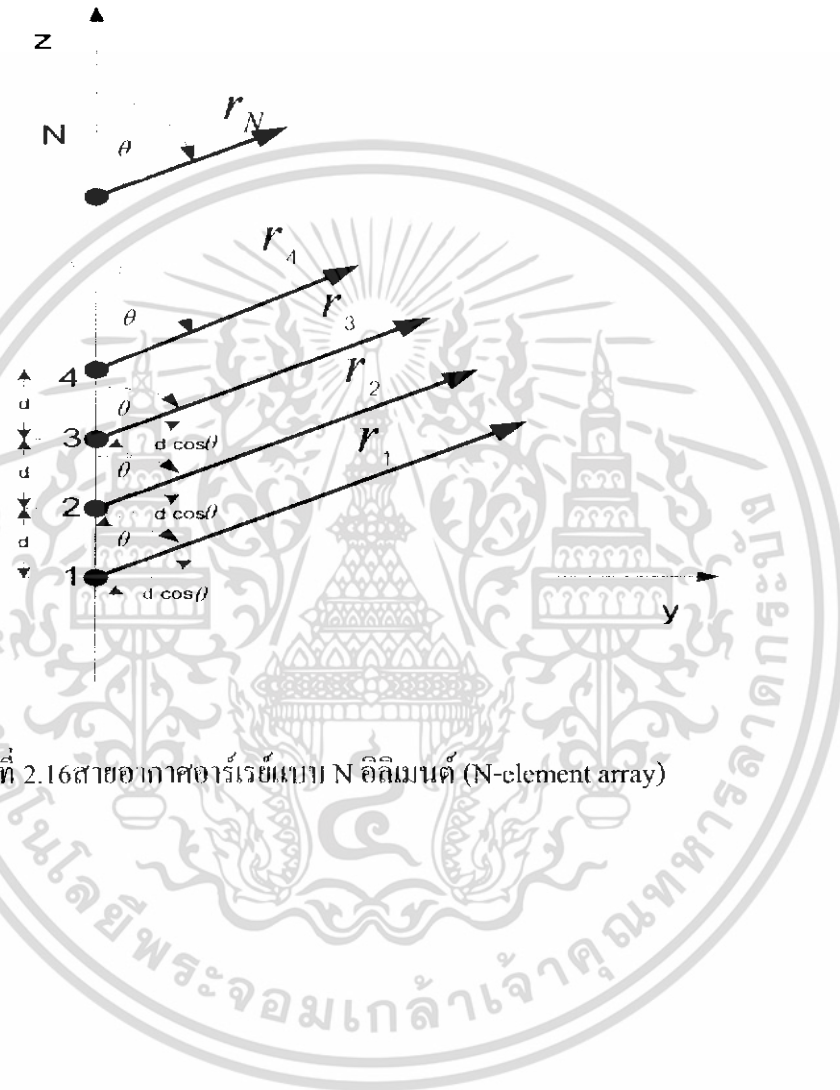
2.13.2 สายอากาศอาร์เรย์แบบ N อิลิเมนต์ (N-element array)

จากหลักการของสายอากาศไดโพล อาร์เรย์ ซึ่งนำมาประยุกต์ใช้กับสายอากาศไมโครสตริปแบบอาร์เรย์โดยพิจารณา อาร์เรย์แฟลคเตอร์เหมือนกัน แต่ต่างกันที่สนามของสายอากาศอิลิเมนต์เดียวที่จุดอ้างอิง

ให้สายอากาศไมโครสตริปทุกอิลิเมนต์เหมือนกัน วางด้วยระยะห่างเท่ากัน (d) ให้ขนาดและการกระตุ้นสัญญาณ (β) ในแต่ละอิลิเมนต์มีค่าเท่ากัน (Uniform Amplitude and Spacing)

เอกสารนี้เป็นเอกสารที่สงวนไว้สำหรับการใช้งานเพื่อการศึกษาเท่านั้น ไม่อนุญาตให้นำไปใช้ประโยชน์ด้านการค้าไม่ว่ากรณีใดๆ ทั้งสิ้น อีกทั้งห้ามมิให้ดัดแปลงเนื้อหา และต้องอ้างอิงถึงเจ้าของเอกสารทุกครั้งที่มีการนำไปใช้

โดยพิจารณาว่าสายอากาศแบบไมโครสตริปแต่ละอิลิเมนต์ เป็นจุดกำเนิด (Point Source) โดยแต่ละตัวให้สนามดังรูป



รูปที่ 2.16 สายอากาศอาร์เรย์แบบ N อิลิเมนต์ (N-element array)

เอกสารนี้เป็นเอกสารที่สงวนไว้สำหรับการใช้งานเพื่อการศึกษาเท่านั้น ไม่อนุญาตให้นำไปใช้ประโยชน์ด้านการค้า ไม่ว่าจะกรณีใดๆ ทั้งสิ้น อีกทั้งห้ามมิให้ดัดแปลงเนื้อหา และต้องอ้างอิงถึงเจ้าของเอกสารทุกครั้งที่มีการนำไปใช้

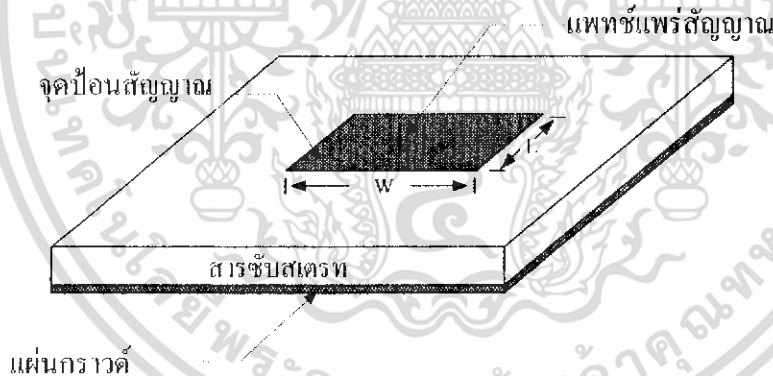
บทที่ 3

การออกแบบและสร้างสายอากาศแบบไมโครสตริป

สำหรับการออกแบบ และ การสร้างสายอากาศแบบไมโครสตริปในปริภูมิพิกัดขั้วนี้จะทำการออกแบบสายอากาศไมโครสตริปแพทช์รูปสี่เหลี่ยมแบบ 8×8 อิลิเมนต์ ซึ่งมีการจัดวางตัวเป็นแบบคอลลิเนียร์ (Colinear) ตามแนว H-plane โดยมีระยะห่างระหว่างแพทช์ ($\lambda_m / 2$) และมีการแพร่กระจายคลื่นเป็นแนวเส้นตรง (Linear Polization) โดยที่เลือกใช้งานที่ความถี่ที่เลือกใช้งาน (5.2 GHz)

3.1 วิธีการออกแบบสร้างสายอากาศแบบไมโครสตริป (Design)

การออกแบบสายอากาศไมโครสตริปแพทช์รูปสี่เหลี่ยม เราต้องคำนึงถึงพารามิเตอร์ ต่างๆที่นำมาใช้ร่วมในการออกแบบ เช่น ค่าความถี่ที่เลือกใช้งาน, ค่าการสูญเสียแทนเจนต์ (loss-tangent) , ϵ_r คือ ค่าคงที่ไดอิเล็กตริกสัมพัทธ์ของซับสเตรท (Substrate)ของวัสดุฐานรองคังแสดงในรูป เป็นต้น



รูปที่ 3.1 แสดงลักษณะองค์ประกอบ ของ สายอากาศไมโครสตริปแพทช์รูปสี่เหลี่ยม

3.1.1 การคำนวณหาค่าแพทช์ (Patch)

การคำนวณหาค่าแพทช์ (Patch) ที่นำไปใช้ในการออกแบบสายอากาศไมโครสตริปแพทช์รูปสี่เหลี่ยม โดยมีสมการและขั้นตอนการคำนวณดังนี้

- ค่าความกว้างของแพทช์ (W)
- ความยาวของแพทช์ (L)

เอกสารนี้เป็นเอกสารที่สงวนไว้สำหรับการใช้งานเพื่อการศึกษาเท่านั้น ไม่อนุญาตให้นำไปใช้ประโยชน์ด้านการค้า ไม่ว่าจะกรณีใดๆ ทั้งสิ้น อีกทั้งห้ามมิให้ดัดแปลงเนื้อหา และต้องอ้างอิงถึงเจ้าของเอกสารทุกครั้งที่มีการนำไปใช้

ค่าความกว้างของแพทช์ (W) ซึ่งมีค่าประมาณครึ่งหนึ่งของค่าความยาวคลื่นกลุ่มภายในสายไมโครสตริป (Group Wavelength in Microstrip : $\lambda_g / 2$) สามารถหาได้จากสมการดังนี้

$$W = \frac{c}{2f_r} \sqrt{\frac{2}{\epsilon_r + 1}} \quad (3.1)$$

เมื่อ C = ความเร็วแสง มีค่าเท่ากับ 3×10^8 c/m

f_r = ความถี่ที่เลือกใช้งาน (5.2 GHz)

ϵ_r คือ ค่าคงที่ไดอิเล็กตริกสัมพัทธ์ ของฉนวน (Teflon = 4.4)

จากสมการ (3.1) สามารถคำนวณค่าความกว้างของแพทช์ได้เท่ากับ $W = 17.55$ mm

ค่าความยาวของแพทช์ (L) ซึ่งมีค่าประมาณครึ่งหนึ่งของค่าความยาวคลื่นภายในสายไมโครสตริป (Group Wavelength in Microstrip : $0.48 \lambda_g < L < 0.49 \lambda_g$) สามารถหาได้จากสมการดังนี้

$$L = \frac{C}{2f_r} \frac{1}{\sqrt{\epsilon_r}} - 2\Delta l \quad (3.2)$$

ที่

$$\lambda_g = \frac{\lambda_0}{\sqrt{\epsilon_r}} \quad (3.3)$$

สำหรับความยาว(L)จะพิจารณาจากค่าคงที่ไดอิเล็กตริก(ϵ_r)และการขยายตัวตามความยาว(Δl)

เมื่อ ค่าคงที่ไดอิเล็กตริก(ϵ_r)

$$\epsilon_c = \frac{\epsilon_r + 1}{2} + \frac{\epsilon_r - 1}{2} \left(1 + \frac{12h}{W} \right)^{-1} \quad (3.4)$$

ค่าการขยายตัวตามความยาว(Δl)

$$\Delta l = 0.412h \left[\frac{(\epsilon_c + 0.3) \left(\frac{W}{h} + 0.264 \right)}{(\epsilon_c - 0.258) \left(\frac{W}{h} + 0.8 \right)} \right] \quad (3.5)$$

เอกสารนี้เป็นเอกสารที่สงวนไว้สำหรับการใช้งานเพื่อการศึกษาเท่านั้น ไม่อนุญาตให้นำไปใช้ประโยชน์ด้านการค้าไม่ว่ากรณีใดๆ ทั้งสิ้น อีกทั้งห้ามมิให้ดัดแปลงเนื้อหา และต้องอ้างอิงถึงเจ้าของเอกสารทุกครั้งที่มีการนำไปใช้

จากสมการ (3.4) สามารถคำนวณค่าคงที่ไดอิเล็กตริก(ϵ_r) = 3.874

จากสมการ (3.5) สามารถคำนวณค่าการขยายตัวตามความยาว(ΔL) = 0.72624 mm

นำค่าจากสมการ (3.4) และ ค่าจากสมการ (3.5) นำมาร่วมในการคำนวณหาค่าความยาวของแพทช์ (L) ในสมการที่ (3.2)

จากสมการ (3.4) สามารถคำนวณค่าความยาวของแพทช์ (L) = 13.2 mm

3.1.2 วิธีการออกแบบสายอากาศแบบไมโครสตริปแบบการวางตัวแต่ละอิลิเมนต์

จากที่ทำการออกแบบสายอากาศแบบไมโครสตริปแบบอิลิเมนต์เดี่ยวแล้วนำค่าที่ทำการคำนวณได้มาทำการออกแบบสายอากาศแบบไมโครสตริปแบบ 8×8 อิลิเมนต์ ซึ่งมีการจัดวางตัวเป็นแบบคอลลิเนียร์ (Colinear) ตามแนว H-plane โดยมีระยะห่างระหว่างแพทช์ ($\lambda_m/2$) โดยมีกรคำนวณและออกแบบดังนี้

ระยะห่างระหว่างแพทช์ ($\lambda_m/2$) จากสมการ

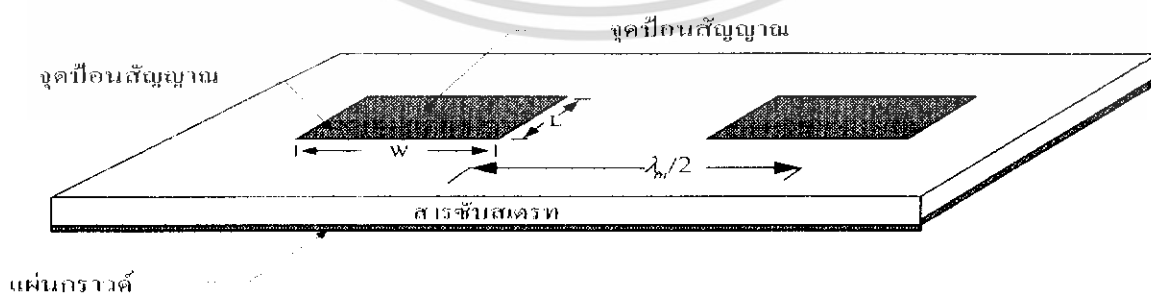
$$\lambda_m = \frac{\lambda_0}{\sqrt{\epsilon_r}} \quad (3.6)$$

ที่ค่า

ความกว้างของแพทช์ (W) = 17.55 mm

ความยาวของแพทช์ (L) = 13.2 mm

ระยะห่างระหว่างแพทช์ ($\lambda_m/2$) = 14.66332 mm



รูปที่ 3.2 ระยะห่างระหว่างแพทช์สายอากาศแบบไมโครสตริป

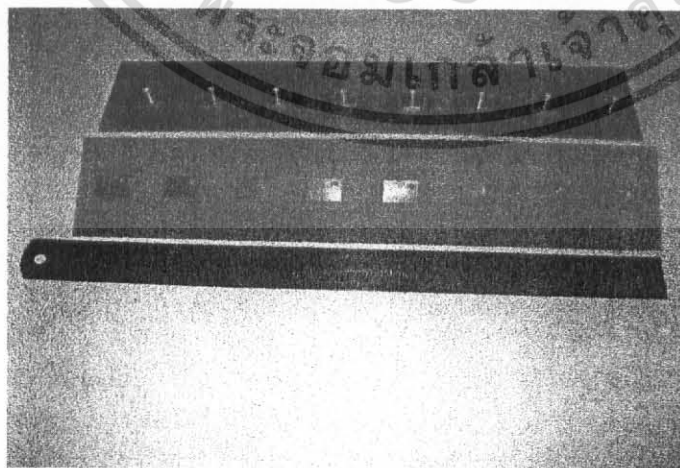
เอกสารนี้เป็นเอกสารที่สงวนไว้สำหรับการใช้งานเพื่อการศึกษาเท่านั้น ไม่อนุญาตให้นำไปใช้ประโยชน์ด้านการค้า ไม่ว่าจะกรณีใดๆ ทั้งสิ้น อีกทั้งห้ามมิให้ดัดแปลงเนื้อหา และต้องอ้างอิงถึงเจ้าของเอกสารทุกครั้งที่มีการนำไปใช้

3.2 อุปกรณ์ที่ใช้ในการสร้างสายอากาศไมโครสตริป

1. แผ่นวงจรพิมพ์ที่ใช้สารตัวกลางกึ่งกลางเป็นอีพ็อกซี่
2. ขั้วต่อ SMA
3. เลื่อยฉลุ
4. กระดาษทราย (แบบหยาบและละเอียด)
5. แผ่นทรายฟิล์ม (Dry Film)
6. กรดกัดแผ่นวงจรพิมพ์
7. หัวแร้ง
8. ตะกั่ว
9. หลอดไฟหรือเครื่องฉายแผ่นทรายฟิล์ม (Dry Film)

3.3 ขั้นตอนการออกแบบและการสร้างสายอากาศไมโครสตริป

1. ศึกษาการใช้โปรแกรม IE3D และ Auto Cad
2. ทำการวาดรูปร่างใน โปรแกรม IE3D
3. จำลองการทำงานด้วยโปรแกรม
4. ปรับแต่งรูปร่างเพื่อให้ค่าที่ได้ดีที่สุดหรือใกล้เคียงมากที่สุดที่ยอมรับได้
5. นำขนาดที่วาดใน โปรแกรม IE3D มาวาดลงใน โปรแกรม Auto Cad
6. พิมพ์ขนาดจริงลงกระดาษ A4 แล้วนำไปถ่ายลงกระดาษใสหรือแผ่นใส
7. ทำการฉายแสงลงแผ่นทรายฟิล์ม (Dry Film)
8. นำแผ่นวงจรพิมพ์ไปกัดกับกรดกัดแผ่นวงจรพิมพ์
9. นำมาต่อกับขั้วต่อ SMA



รูปที่ 3.3 สายอากาศแบบไมโครสตริปที่ทำการสร้างขึ้น

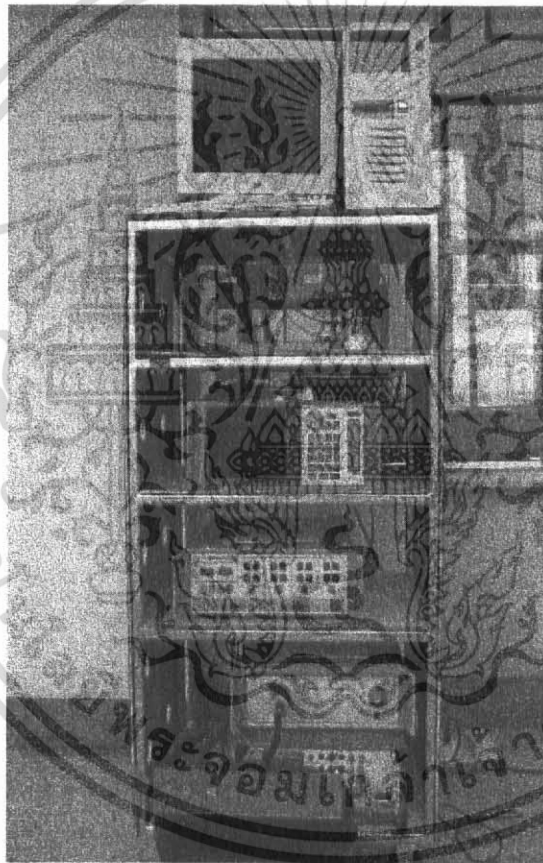
เอกสารนี้เป็นเอกสารที่สงวนไว้สำหรับการใช้งานเพื่อการศึกษาเท่านั้น ไม่อนุญาตให้นำไปใช้ประโยชน์ด้านการค้า ไม่ว่าจะกรณีใดๆ ทั้งสิ้น อีกทั้งห้ามมิให้ดัดแปลงเนื้อหา และต้องอ้างอิงถึงเจ้าของเอกสารทุกครั้งที่มีการนำไปใช้

บทที่ 4

การทดลองวัดและผลการทดลอง

4.1 การทดลองวัดคุณสมบัติของสายอากาศ

เมื่อทำการออกแบบ และ ทำการสายอากาศไมโครสตริปแบบ 8×8 อิลิเมนต์ นำสายอากาศที่ทำกรออกแบบแล้วมาทำการทดสอบด้วยเครื่องเวกเตอร์เน็ตเวิร์คอนาไลเซอร์ (Vector network analyzer) HP 8510C ซึ่งเราจะทำการวัดทดสอบสายอากาศดังแสดงในรูป รูปที่ 4.1



รูปที่ 4.1 สายอากาศไมโครสตริปที่ทำการต่อ Network Analyzer ใช้ในการทดลอง

สำหรับการวัดและการทดสอบค่าต่างๆ ในการทดลองนี้จะใช้เครื่องการทดสอบด้วยเครื่องเวกเตอร์เน็ตเวิร์คอนาไลเซอร์ (Vector network analyzer) HP 8510C การวัดด้วยเครื่องวิเคราะห์เครือข่ายวิทยุนี้สามารถวัดและแสดงรูปสัญญาณพร้อมทั้งค่าต่างๆ ออกมาโดยละเอียด ส่วนอุปกรณ์อื่นๆ ที่ใช้ได้แก่ ตัวเชื่อมต่อระหว่างสายอากาศกับเครื่องวัดจะใช้หัวต่อเป็นแบบ SMA

เอกสารนี้เป็นเอกสารที่สงวนไว้สำหรับการใช้งานเพื่อการศึกษาเท่านั้น ไม่อนุญาตให้นำไปใช้ประโยชน์ด้านการค้า ไม่ว่าจะกรณีใดๆ ทั้งสิ้น อีกทั้งห้ามมิให้ดัดแปลงเนื้อหา และต้องอ้างอิงถึงเจ้าของเอกสารทุกครั้งที่มีการนำไปใช้

การทดลองจะประกอบไปด้วย การวัดและทดสอบหาค่าสัมประสิทธิ์การสะท้อนกลับ คือ อัตราส่วนคลื่นนิ่ง ค่าอินพุตอิมพีแดนซ์และเฟสของสายอากาศไมโครสตริป ย่านความถี่ ซึ่งจากผลการทดลองที่ได้นี้จะนำมาวิเคราะห์หาความผิดพลาดของการคำนวณว่าได้ใกล้เคียงกับการทดลองหรือไม่อย่างไร เพื่อนำมาปรับปรุงให้มีประสิทธิภาพมากขึ้น

4.1.1 อุปกรณ์ที่ใช้ในการทดสอบ

1. เครื่อง เวกเตอร์เน็ตเวิร์คแอนาไลเซอร์ (Vector network analyzer) HP 8510C
2. ชุดคาลิเบรท 85022 B. 3.5 mm
3. สายอากาศไมโครสตริป

4.1.2 ขั้นตอนการทดสอบ

1. ทำการคาลิเบรทเครื่องเวกเตอร์เน็ตเวิร์คแอนาไลเซอร์ (Vector network analyzer) HP 8510C ด้วยชุดคาลิเบรท 85022 B. 3.5 mm
2. เลือกความถี่เริ่มต้น 3 GHz และความถี่สุดท้าย 11 GHz
3. ทำการต่อสายอากาศไมโครสตริป เข้ากับเครื่อง Network Analyzer
4. ทดสอบวัดหาค่าสัมประสิทธิ์การสะท้อน (Return Loss)
5. ทำการวัดหาค่าอิมพีแดนซ์ของสายอากาศไมโครสตริปด้วยเครื่อง Network Analyzer
6. ทดสอบวัดหาค่าอัตราส่วนคลื่นนิ่งของสายอากาศไมโครสตริป (VSWR)
7. ทดสอบวัดหาค่าเฟสของสายอากาศไมโครสตริป (Phase)

4.2 ผลการทดสอบคุณสมบัติของสายอากาศ

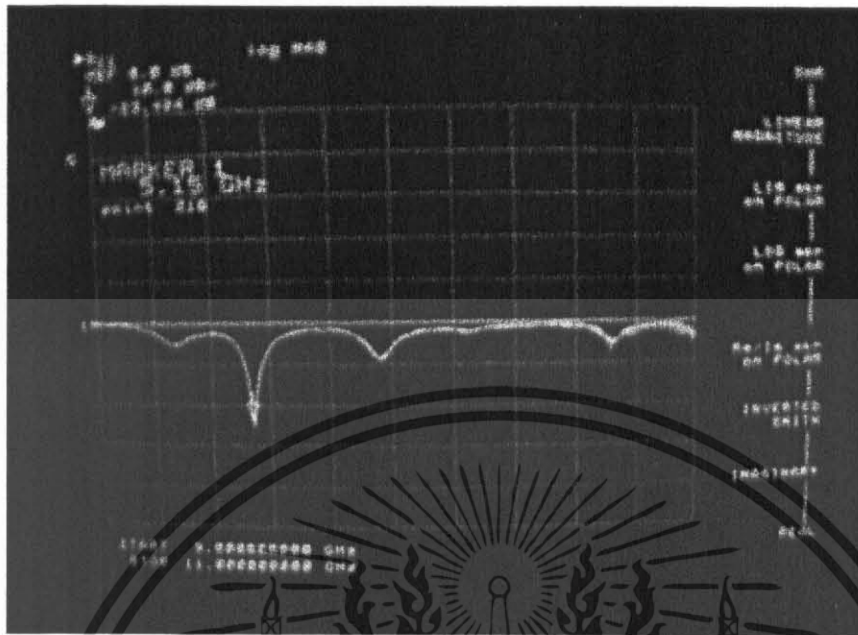
4.2.1 การวัดค่าการสูญเสียย้อนกลับ

ในการทดสอบหาค่าการสูญเสียย้อนกลับ (Return Loss) ของสายอากาศไมโครสตริป จะทำการวัดโดยดูที่ความถี่ใช้งาน ความถี่เช่นกัน คือที่ Marker 1 จะอยู่ที่ 5.15 GHz ซึ่งผลการทดลองจะได้ดังรูปที่ 4.2

ตารางที่ 4.1 ค่าการสูญเสียย้อนกลับของสายอากาศไมโครสตริป

Marker	ความถี่ที่ใช้งาน	ค่าการสูญเสียย้อนกลับ
1	5.15 GHz	-23.49 dB

เอกสารนี้เป็นเอกสารที่สงวนไว้สำหรับการใช้งานเพื่อการศึกษาเท่านั้น ไม่อนุญาตให้นำไปใช้ประโยชน์ด้านการค้า ไม่ว่าจะกรณีใดๆ ทั้งสิ้น อีกทั้งห้ามมิให้ดัดแปลงเนื้อหา และต้องอ้างอิงถึงเจ้าของเอกสารทุกครั้งที่มีการนำไปใช้



รูปที่ 4.2 ค่าการสูญเสียย้อนกลับ (Return Loss) ที่ได้จากการทดสอบ

จากผลการทดสอบหาค่าการสูญเสียย้อนกลับนี้จะพบว่าที่ความถี่ 5.15 GHz มีค่าการสูญเสียย้อนกลับ -23.49 dB โดยในการวัดค่าการสูญเสียย้อนกลับนี้ค่าที่สามารถใช้งานได้ต้องมีการสูญเสียย้อนกลับต่ำกว่า -10 dB ซึ่งก็จะพบว่าความถี่ 5.15 GHz เท่านั้นที่สามารถใช้งานได้

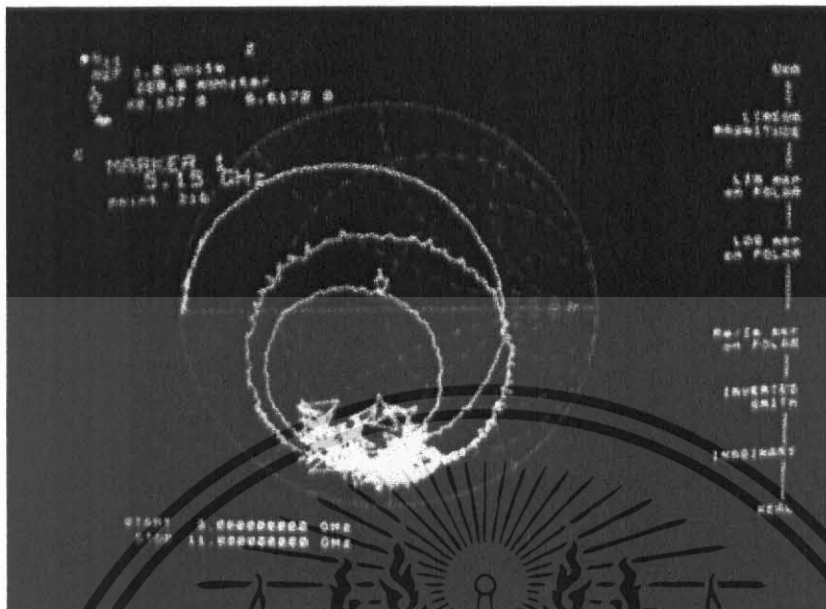
4.2.2 การทดสอบหาค่าอิมพีแดนซ์ของสายอากาศ

ในการทดสอบ หาค่าอิมพีแดนซ์อินพุตของสายอากาศไมโครสตริปนี้ โดยการอ่านค่า Smith Chart จากเครื่อง Vector Network Analyzer โดยกำหนดให้ Marker 1 เป็นความถี่ Center ที่ 5.15 GHz ซึ่งผลการทดสอบจะได้ดังรูปที่ 4.3

ตารางที่ 4.2 ค่าอินพุตอิมพีแดนซ์ของสายอากาศไมโครสตริป

Maker	ความถี่ที่ใช้งาน	ค่าอิมพีแดนซ์ (Ω)
1	5.15 GHz	48.188

เอกสารนี้เป็นเอกสารที่สงวนไว้สำหรับการใช้งานเพื่อการศึกษาเท่านั้น ไม่อนุญาตให้นำไปใช้ประโยชน์ด้านการค้า ไม่ว่ากรณีใดๆ ทั้งสิ้น อีกทั้งห้ามมิให้ดัดแปลงเนื้อหา และต้องอ้างอิงถึงเจ้าของเอกสารทุกครั้งที่มีการนำไปใช้



รูปที่ 4.3 อิมพีแดนซ์ของสายอากาศ (Impedance) ที่ได้จากการทดสอบ

ซึ่งในการวัดค่าอินพุตอิมพีแดนซ์นี้เราจะต้องทำให้ค่าจินตภาพของสายอากาศเข้าใกล้ศูนย์มากที่สุดเพื่อนำเอาจะได้เฉพาะค่าอิมพีแดนซ์ที่เป็นค่าจริง โดยจากผลการทดสอบจะพบว่า ที่ Marker 1 ความถี่ 5.15 GHz มีค่าอินพุตอิมพีแดนซ์ 48.18 โอห์ม จะเห็นว่าความถี่ 5.15 GHz เท่านั้นที่ใกล้เคียงกับค่าอินพุตอิมพีแดนซ์ที่เราต้องการคือ 50 โอห์ม ซึ่งค่าอินพุตอิมพีแดนซ์ที่ได้นี้ก็จะมีผลต่อค่า Return Loss และค่า VSWR ในการทดสอบต่อไป

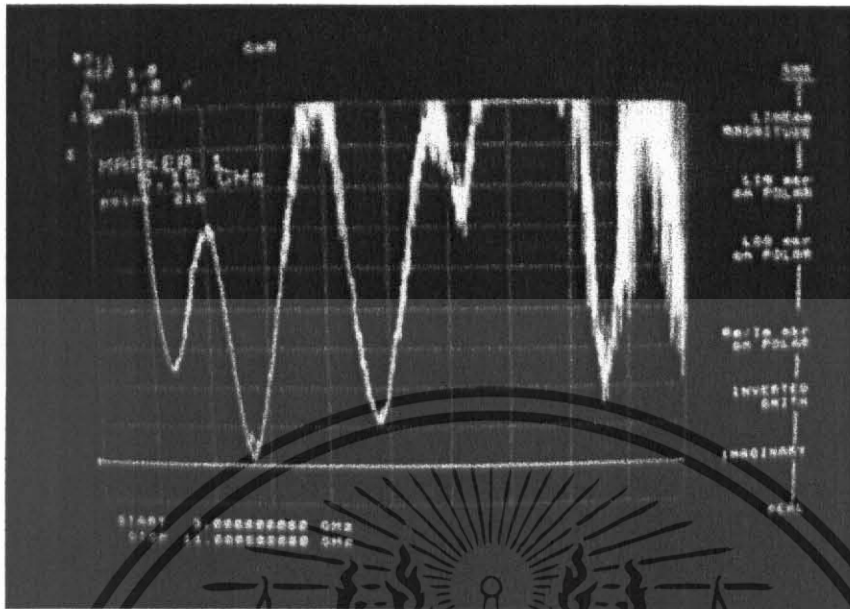
4.2.3 การทดสอบหาค่าอัตราส่วนคลื่นนิ่ง (VSWR)

ในการทดสอบหาค่าอัตราส่วนคลื่นนิ่งของสายอากาศไมโครสตริปนี้ ก็จะทำการทดสอบคล้ายๆ กับการหาค่าอินพุตอิมพีแดนซ์คือ จะดูค่าอัตราส่วนคลื่นนิ่งที่ความถี่ใช้งานที่ความถี่โดยให้ Marker 1 คือ ความถี่ใช้งาน 5.15 GHz ซึ่งทำการทดสอบจะได้ดังรูปที่ 4.4

ตารางที่ 4.3 ค่าอัตราส่วนคลื่นนิ่งของสายอากาศไมโครสตริป

Maker	ความถี่ที่ใช้งาน	ค่าอัตราส่วนคลื่นนิ่ง
1	5.15 GHz	1.2054 : 1

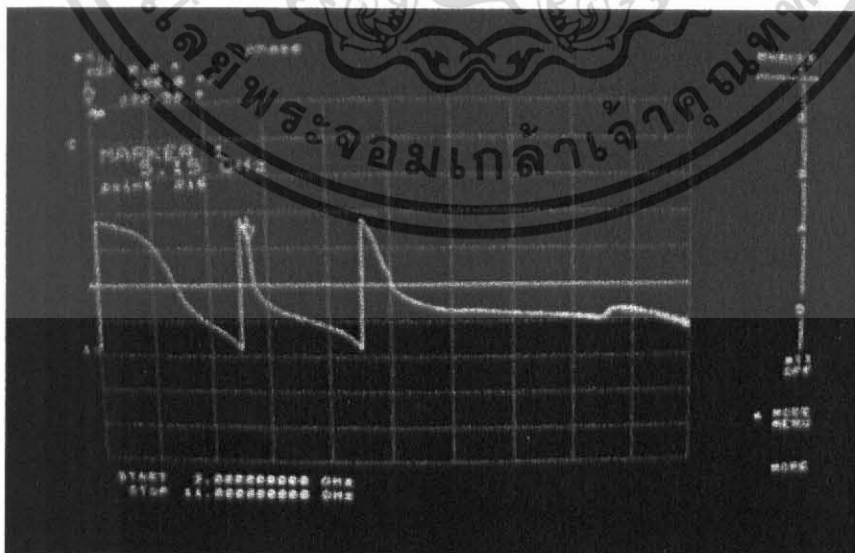
เอกสารนี้เป็นเอกสารที่สงวนไว้สำหรับการใช้งานเพื่อการศึกษาเท่านั้น ไม่อนุญาตให้นำไปใช้ประโยชน์ด้านการค้า ไม่ว่ากรณีใดๆ ทั้งสิ้น อีกทั้งห้ามมิให้ดัดแปลงเนื้อหา และต้องอ้างอิงถึงเจ้าของเอกสารทุกครั้งที่มีการนำไปใช้



รูปที่ 4.4 อัตราส่วนคลื่นนิ่งของแรงดัน (VSWR) ที่ได้จากการทดสอบ

จากการทดสอบที่ได้จะเห็นว่าที่ความถี่ 5.15 GHz มีค่าอัตราส่วนคลื่นนิ่งเท่ากับ 1.2054 : 1 โดยค่าอัตราส่วนคลื่นนิ่งที่ต้องการนี้จะสามารถใช้งานได้นั้นต้องมีค่าต่ำกว่า 2 : 1 ซึ่งจากการทดสอบนี้จะพบว่ามียังมีความถี่ที่ 5.15 GHz ใช้งานได้

4.2.4 ทดสอบวัดหาค่าเฟสของสายอากาศไมโครสตริป (Phase)



รูปที่ 4.5 ทดสอบวัดหาค่าเฟสของสายอากาศไมโครสตริป (Phase)

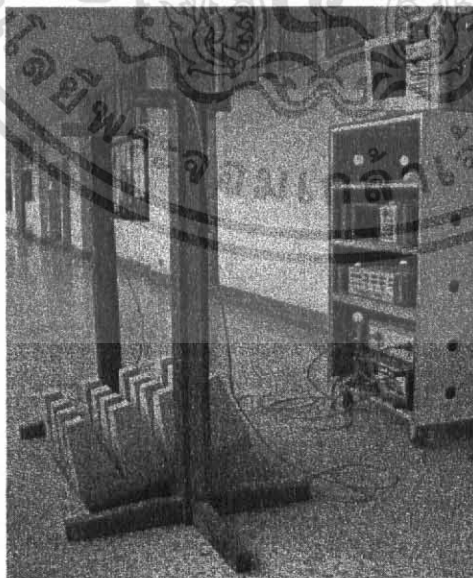
เอกสารนี้เป็นเอกสารที่สงวนไว้สำหรับการใช้งานเพื่อการศึกษาเท่านั้น ไม่อนุญาตให้นำไปใช้ประโยชน์ด้านการค้า ไม่ว่าจะกรณีใดๆ ทั้งสิ้น อีกทั้งห้ามมิให้ดัดแปลงเนื้อหา และต้องอ้างอิงถึงเจ้าของเอกสารทุกครั้งที่มีการนำไปใช้

4.3 วิเคราะห์ผลการทดลองวัดคุณสมบัติของสายอากาศ

จากการทดสอบที่ผ่านมาทั้งหมด เป็นการทดสอบหาคุณลักษณะต่างๆ ของสายอากาศไมโครสตริป ที่ความถี่ 5.15 GHz นั้นมีค่าต่างๆที่ทำการทดสอบเป็นไปตามความต้องการ แต่ที่ 5.2GHz ก็สามารถใช้ได้ แต่ค่าคุณสมบัติยังไม่ดีพอ โดยความผิดพลาดที่เกิดขึ้นนี้อาจเกิดขึ้นในขั้นตอนการสร้างสายอากาศไมโครสตริป ในขั้นตอนการสร้างแผ่นวงจรพิมพ์ ซึ่งอาจจะเกิดความผิดพลาดของขนาดของสายส่งไมโครสตริปหรือที่ตัวแผ่นแพร่กระจายคลื่น ซึ่งเมื่อเกิดความผิดพลาดขึ้นทำให้ที่ความถี่ 5.2 GHz มีอินพุตอิมพีแดนซ์ที่ไม่แมทซ์ ทำให้ค่าต่างๆที่ทดสอบที่ความถี่ 5.2 GHz ผิดพลาดตามไปด้วย ดังนั้นในขั้นตอนของการพัฒนาที่จะทำการพัฒนาสายอากาศไมโครสตริป ให้การใช้งานที่ความถี่ 5.2 GHz มีอินพุตอิมพีแดนซ์ให้ใกล้เคียง 50 โอห์ม ดังนั้นเราจึงเลือกใช้ที่ความถี่ 5.15GHz มาใช้งาน ที่มีค่าการสูญเสียย้อนกลับ -23.49 dB มีค่าอินพุตอิมพีแดนซ์ 48.18 โอห์ม และมีค่าอัตราส่วนคลื่นนิ่งของแรงดัน (VSWR) เท่ากับ 1.2054 : 1

4.4 ทดลองวัดทดสอบรูปแบบการส่งผ่านคลื่น (Transfer Function)

การวัดเพื่อทำการทดลองวัดทดสอบรูปแบบการส่งผ่านคลื่น (Transfer Function) นี้จะเป็นการวัดเพื่อทดสอบสายอากาศที่ทำการสร้างขึ้นว่าสามารถทำการรับและส่งผ่านสัญญาณได้จริงตามความต้องการ การวัดทดลองนี้เราจะวัดค่าการส่งผ่าน และทำการวิเคราะห์ค่าส่งผ่านของสายอากาศที่สร้างขึ้น การทดสอบด้วยเครื่องเวกเตอร์เน็ตเวิร์คอะนาลิเซอร์ (Vector network analyzer) HP 8510C ดังรูปที่ 4.6



รูปที่ 4.6 ทดสอบวัดหาค่าสัมประสิทธิ์การส่งผ่าน (Transfer Function)

เอกสารนี้เป็นเอกสารที่สงวนไว้สำหรับการใช้งานเพื่อการศึกษาเท่านั้น ไม่อนุญาตให้นำไปใช้ประโยชน์ด้านการค้า ไม่ว่าจะกรณีใดๆ ทั้งสิ้น อีกทั้งห้ามมิให้ดัดแปลงเนื้อหา และต้องอ้างอิงถึงเจ้าของเอกสารทุกครั้งที่มีการนำไปใช้

4.4.1 อุปกรณ์ที่ใช้ในการทดสอบ

1. เครื่องวิเคราะห์เน็ตเวิร์คโหนดเวกเตอร์ (Vector network analyzer) HP 8510C 5
2. ชุดคาลิเบรท 85022 B. 3.5 mm
3. สายอากาศไมโครสตริป

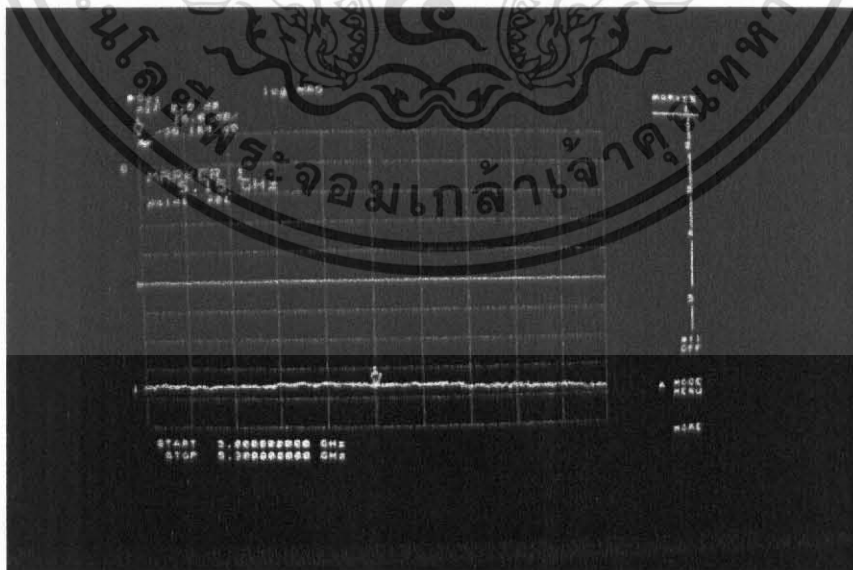
4.4.2 ขั้นตอนการทดสอบ

1. ทำการคาลิเบรทเครื่องวิเคราะห์เน็ตเวิร์คโหนดเวกเตอร์ (Vector network analyzer) HP 8510C ด้วยชุดคาลิเบรท 85022 B. 3.5 mm
2. เลือกความถี่เริ่มต้น 5 GHz และความถี่สุดท้าย 5.3 GHz
3. ทำการต่อสายอากาศไมโครสตริป เข้ากับเครื่องวิเคราะห์เน็ตเวิร์คโหนดเวกเตอร์ (Vector network analyzer) HP 8510C
4. ทดสอบวัดค่าสัมประสิทธิ์การส่งผ่าน (Transfer Function)
5. ทำการวัดวิเคราะห์ค่าเฟส (phase) การส่งสัญญาณ

4.5 ผลการทดสอบคุณสมบัติของสายอากาศ

4.5.1 ทดสอบวัดค่าสัมประสิทธิ์การส่งผ่าน (Transfer Function)

ผลการวัดค่าการส่งผ่านของสายอากาศที่สร้างขึ้นที่มีการต่อสัญญาณให้กับตัวรับและตัวส่งที่มีการวางตัวรับและตัวส่งห่างกัน 1 เมตรว่าสายอากาศที่ทำการสร้างขึ้นนี้สามารถรับส่งสัญญาณได้จริง

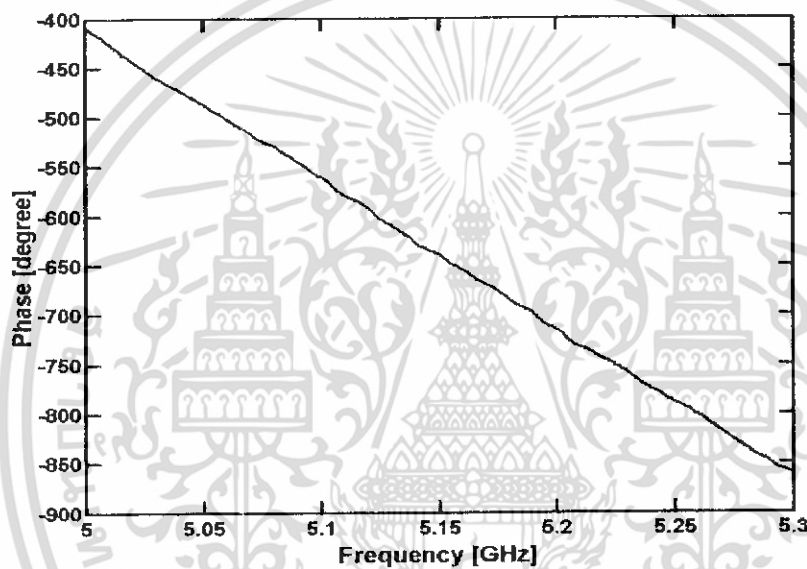


รูปที่ 4.7 ค่าทดสอบวัดค่าสัมประสิทธิ์การส่งผ่าน (Transfer Function) ที่ระยะ 1 เมตร เอกสารนี้เป็นเอกสารที่สงวนลิขสิทธิ์ไว้เพื่อใช้ในการเรียนการสอนในเชิงวิชาการเท่านั้น เมื่อผู้จัดทำเห็นประโยชน์ด้านการค้า ไม่ว่าจะกรณีใดๆ ทั้งสิ้น อีกทั้งห้ามมิให้ดัดแปลงเนื้อหา และต้องอ้างอิงถึงเจ้าของเอกสารทุกครั้งที่มีการนำไปใช้

จากผล ค่าทดสอบวัดหาค่าสัมประสิทธิ์การส่งผ่าน (Transfer Function) 5.15 GHz มีค่าการ 10 dB / -36.164 dB ซึ่งเมื่อคุณผลการส่งผ่านแล้วสายอากาศที่สร้างขึ้นนี้สามารถส่ง และรับสัญญาณ ได้

4.5.2 ทำการวัดวิเคราะห์ค่าเฟส (phase) การส่งสัญญาณ

ผลการวัดค่าวิเคราะห์ค่าเฟสการส่งผ่านของสายอากาศที่สร้างขึ้นที่มีการต่อสัญญาณให้กับ ตัวรับ และตัวส่ง ที่มีการวางตัวรับและตัวส่งห่างกัน 1 เมตร



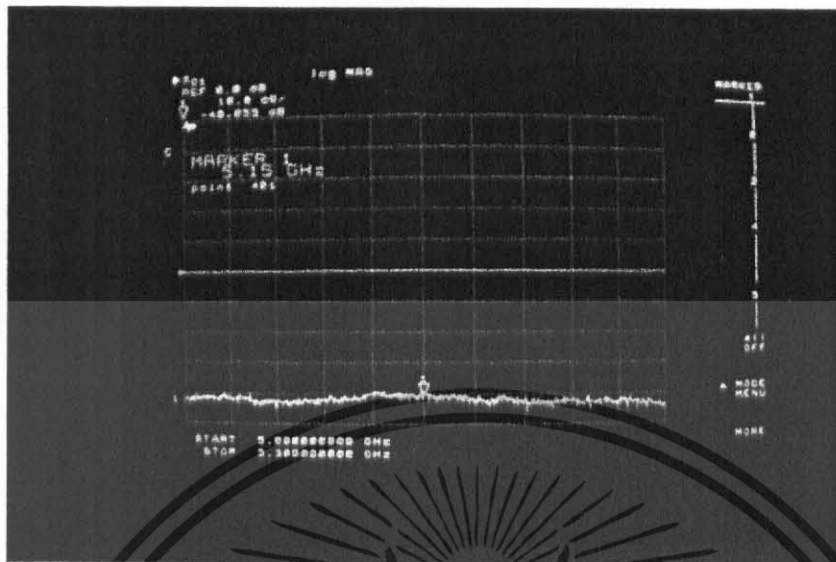
รูปที่ 4.8 ผลการวัดค่าเฟส (phase) การส่งผ่านของสายอากาศที่สร้างขึ้นที่ระยะ 1 เมตร

จากผล ค่าทดสอบ ผลการวัดค่าเฟสการส่งผ่านของสายอากาศที่สร้างขึ้น 5.15 GHz จากรูป ที่มีค่าเฟสที่เป็นเชิงเส้น (Linear) ซึ่งจะแสดงให้เห็นว่าสายอากาศที่ทำการสร้างขึ้นนี้ มีคุณสมบัติ ตามที่สายอากาศทั่วไปที่ควรจะเป็น

4.5.3 ทดสอบวัดหาค่าสัมประสิทธิ์การส่งผ่าน (Transfer Function)

ผลการวัดค่าการส่งผ่านของสายอากาศที่สร้างขึ้นที่มีการต่อสัญญาณให้กับตัวรับและตัว ส่ง ที่มีการวางตัวรับและตัวส่งห่างกัน 2 เมตร เพื่อทำการทดลองว่าสายอากาศที่ทำการสร้างขึ้น สามารถทำการที่ระยะทางการส่งผ่านที่เพิ่มขึ้น ได้ดีเช่นกัน

เอกสารนี้เป็นเอกสารที่สงวนไว้สำหรับการใช้งานเพื่อการศึกษาเท่านั้น ไม่อนุญาตให้นำไปใช้ประโยชน์ด้านการค้า ไม่ว่ากรณีใดๆ ทั้งสิ้น อีกทั้งห้ามมิให้ดัดแปลงเนื้อหา และต้องอ้างอิงถึงเจ้าของเอกสารทุกครั้งที่มีการนำไปใช้

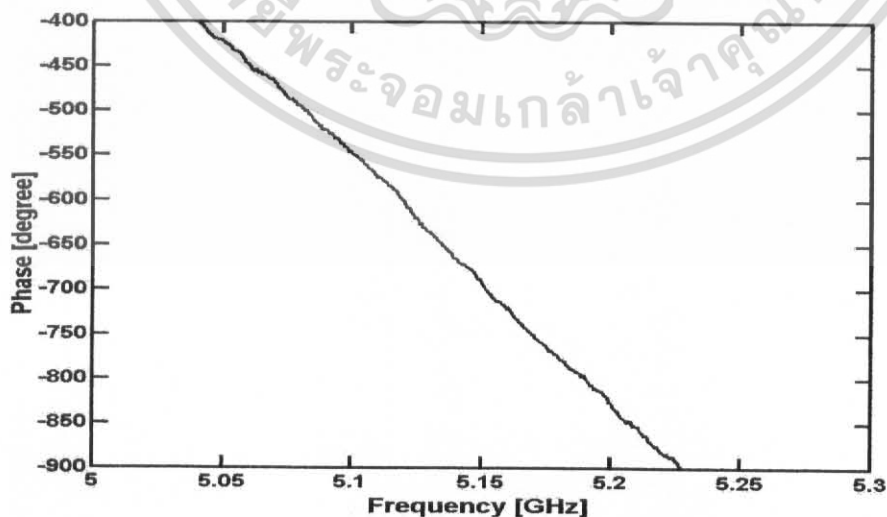


รูปที่ 4.9 ค่าทดสอบวัดหาค่าสัมประสิทธิ์การส่งผ่าน (Transfer Function) ที่ระยะ 2 เมตร

จากผล ค่าทดสอบวัดหาค่าสัมประสิทธิ์การส่งผ่าน (Transfer Function) 5.15 GHz มีค่าการ 10 dB / -36.164 dB ซึ่งเมื่อดูผลการส่งผ่านแล้วสายอากาศที่สร้างขึ้นนี้สามารถส่ง และรับสัญญาณ ได้

4.5.4 ทำการวิเคราะห์ค่าเฟส (phase) การส่งสัญญาณ

ผลการวัดค่าวิเคราะห์ค่าเฟสการส่งผ่านของสายอากาศที่สร้างขึ้นที่มีการต่อสัญญาณให้กับ ตัวรับ และตัวส่ง ที่มีการวางตัวรับและตัวส่งห่างกัน 2 เมตร



รูปที่ 4.10 ผลการวัดค่าเฟส (phase) การส่งผ่านของสายอากาศที่สร้างขึ้นที่ระยะ 2 เมตร

เอกสารนี้เป็นเอกสารที่สงวนไว้สำหรับการใช้ในเพื่อการทักษาเท่านั้น เมื่ออนุญาตให้เผยแพร่โดยนิตยสารด้านการค้า

ไม่ว่ากรณีใดๆ ทั้งสิ้น อีกทั้งห้ามมิให้ดัดแปลงเนื้อหา และต้องอ้างอิงถึงเจ้าของเอกสารทุกครั้งที่มีการนำไปใช้

จากผล ค่าทดสอบ ผลการวัดค่าเฟสการส่งผ่านของสายอากาศที่สร้างขึ้น 5.15 GHz จากรูปที่มีค่าเฟสที่เป็นเชิงเส้น (Linear) ซึ่งจะแสดงให้เห็นว่าสายอากาศที่ทำการสร้างขึ้นนี้ มีคุณสมบัติตามที่สายอากาศทั่วไปที่ควรจะเป็นและจะสังเกตเห็นว่าสายอากาศที่ทำการสร้างขึ้นนี้เมื่อทำการเพิ่มระยะของการรับส่งสัญญาณแล้วค่าที่ทำการรับยังไม่เกิดผลกระทบต่อการรับส่งสัญญาณเท่าใดนัก

4.6 วิเคราะห์ผลการทดลองวัดค่าสัมประสิทธิ์การส่งผ่าน (Transfer Function)

จากการทดสอบที่ผ่านมาทั้งหมด เป็นการทดสอบหา ค่าทดสอบวัดค่าสัมประสิทธิ์การส่งผ่าน (Transfer Function) ของสายอากาศไมโครสตริปที่ทำการสร้างขึ้น ที่ความถี่ 5.15 GHz นั้นมีค่าต่างๆที่ทำการทดสอบเป็นไปตามความต้องการ และทำให้เห็นว่าสายอากาศที่ทำการสร้างขึ้นนี้สามารถรับ และส่งสัญญาณ ได้จริง และมีค่าตรงตามคุณสมบัติตามที่สายอากาศควรจะมี

บทที่ 5

บทสรุป

5.1 บทสรุป

สายอากาศไมโครสตริปได้ทำการออกแบบการสร้างและทดลองเป็นลักษณะสายอากาศแบบแผ่นที่มีรูปร่างของส่วนที่ใช้แพร่กระจายคลื่นเป็นรูปสี่เหลี่ยมผืนผ้าโดยสายอากาศไมโครสตริปตัวนี้จะสร้างจากวัสดุฐานรองที่เป็นแบบอีพ็อกซี สายอากาศไมโครสตริปที่สร้างขึ้นจะเป็นสายอากาศไมโครสตริป รองรับการใช้งานย่านความถี่ 5.15 GHz ใช้งานในระบบมัลติอินพุท และมัลติเอาต์พุท ซึ่งจะทำให้ครอบคลุมการใช้งานในระบบโครงข่ายท้องถิ่นไร้สายตามมาตรฐาน IEEE802.11a ซึ่งได้แสดงทฤษฎีการออกแบบ การสร้างและการทดสอบคุณลักษณะของสายอากาศ โดยจะทำการทดสอบวัดค่ากำลังงานสูญเสีย (Return Loss) การหาค่าอัตราส่วนคลื่นนิ่ง (VSWR) การวัดค่าอิมพีแดนซ์ของสายอากาศทดลองวัดทดสอบรูปแบบการส่งผ่านคลื่น (Transfer Function) และทำการเปรียบเทียบคุณลักษณะของสายอากาศจากที่ทดลองทางทฤษฎี ว่ามีความสอดคล้องหรือมีความแตกต่างกันอย่างไร และสามารถยอมรับนำไปใช้งานได้ ซึ่งจากทฤษฎีการออกแบบ การสร้างสายอากาศไมโครสตริปสามารถนำไปประยุกต์ใช้ออกแบบ การสร้างสายอากาศไมโครสตริป และสายอากาศย่านความถี่สูงในรูปแบบอื่น ๆ ต่อไป

5.2 วิจารณ์ และแนวทางการพัฒนา

5.2.1 ปัญหา

ในการจัดทำโครงงานชุดนี้ สามารถสรุปปัญหาที่เกิดขึ้น ดังนี้

1. ในทางปฏิบัติไม่สามารถทำให้แผ่นตัวนำที่ใช้ทำเป็นกราวด์เพลนมีขนาดที่ไม่จำกัด และเป็นตัวนำที่สมบูรณ์ได้
2. ทฤษฎีที่ใช้ในการออกแบบสายอากาศไมโครสตริปเมื่อนำมาทดลอง และออกแบบสร้างผลที่ได้ไม่เกินไปตามทฤษฎีที่ใช้คำนวณได้
3. การสร้างแผ่นแพร่กระจายคลื่นให้มีขนาดตรงตามที่คำนวณทำได้ยาก เพราะว่ามีมวลเสียดมาก จึงไม่สามารถสร้างตามการคำนวณได้
4. ในการวัด และทดสอบค่าการสูญเสียกับค่าอัตราส่วนคลื่นนิ่ง จะมีค่าไม่สอดคล้องกัน คือ ถ้าค่าสะท้อนกลับมีมากเป็นผลที่ไม่ดี แต่ค่าอัตราส่วนคลื่นนิ่งที่วัดได้พร้อมกันจะมีค่าที่ดี

เอกสารนี้เป็นเอกสารที่สงวนไว้สำหรับการใช้งานเพื่อการศึกษาเท่านั้น ไม่อนุญาตให้นำไปใช้ประโยชน์ด้านการค้าไม่ว่ากรณีใดๆ ทั้งสิ้น อีกทั้งห้ามมิให้ดัดแปลงเนื้อหา และต้องอ้างอิงถึงเจ้าของเอกสารทุกครั้งที่มีการนำไปใช้

5. ในการวัด และทดสอบรูปแบบการแพร่กระจายคลื่นของสายอากาศ ไม่สามารถทำการทดลองสายอากาศโดยเฉพาะ ดังนั้นในการทดลองจึงเกิดความคลาดเคลื่อน

6. การบัดกรี เพื่อทำการเชื่อมต่อตัวเชื่อมต่อแบบ SMA กับสายส่งไมโครสตริปนั้นทำได้ยาก เพราะว่าจุดเชื่อมต่อมีขนาดเล็ก และแผ่นทองแดงสามารถหลุดจากส่วนที่เป็นฉนวนได้ถ้าการบัดกรีใช้ความร้อนสูงเกินไป

7. เกิดคราบออกไซด์บนแผ่นแพร่กระจายคลื่นของสายอากาศไมโครสตริป ทำให้มีผลต่อการแพร่กระจายคลื่นของสายอากาศ

5.2.2 แนวทางแก้ไข

1. ออกแบบสายอากาศให้แผ่นตัวนำ ที่ใช้ทำเป็นกราวด์เพลนมีขนาดใหญ่มากที่สุดเท่าที่สามารถจะทำได้

2. ในการออกแบบสายอากาศ ค่าคงตัวของสารที่ใช้เป็นฉนวน ต้องกำหนดให้ได้ตรงตามค่าของสารนั้น และถูกต้องมากที่สุด

3. ในส่วนของการสร้างสายอากาศไมโครสตริป ต้องสร้างให้ได้ขนาดตามที่คำนวณให้มากที่สุด คือต้องออกแบบขนาดโดยใช้เครื่องมือที่สามารถกำหนด และวัดขนาดของแผ่นแพร่กระจายคลื่นที่มีความละเอียดสูง และให้ค่าค่าที่คลาดเคลื่อนจากการออกแบบที่น้อยที่สุด

4. การวัด และทดสอบถ้าจะให้ค่าต่าง ๆ มีความถูกต้องและสอดคล้องกันต้องสร้างสายอากาศให้มีขนาดที่ถูกต้อง และมีความละเอียดในการสร้างให้สูงมากขึ้น

5. ในการวัด และทดสอบรูปแบบการแพร่กระจายคลื่น ต้องใช้เครื่องมือ และชุดทดสอบมีความเที่ยงตรงและผิดพลาดน้อยที่สุด รวมทั้งห้องที่ทำการทดสอบ ต้องจัดตำแหน่งของสายอากาศ เครื่องมือ และอุปกรณ์ต่าง ๆ ภายในห้อง ไม่ให้เกิดการรบกวน

6. การบัดกรี ต้องใช้เครื่องบัดกรีที่ควบคุมอุณหภูมิได้อย่างสม่ำเสมอ เพื่อที่จะสามารถควบคุมอุณหภูมิขณะทำการเชื่อมต่อ ไม่ให้มีความร้อนสูงเกินไป

7. การขจัดคราบออกไซด์ทำได้โดยกรดทำความสะอาดแผ่นแพร่กระจายคลื่น และทำการเคลือบด้วยแล็กเกอร์

5.3 แนวทางการพัฒนา

1. การสร้างสายอากาศให้มีขนาดเล็กลง ทำได้โดยการเพิ่มความถี่ใช้งานสูงขึ้น

2. ในส่วนของทฤษฎีการออกแบบคำนวณสามารถออกแบบคำนวณสามารถออกแบบ โดยใช้โปรแกรมคอมพิวเตอร์ช่วยในการออกแบบเพื่อเพิ่มความถูกต้องให้มากขึ้น เอกสารนี้เป็นเอกสารที่สงวนไว้สำหรับการใช้งานเพื่อการศึกษาเท่านั้น ไม่อนุญาตให้นำไปใช้ประโยชน์ด้านการค้า ไม่ว่าจะกรณีใดๆ ทั้งสิ้น อีกทั้งห้ามมิให้ดัดแปลงเนื้อหา และต้องอ้างอิงถึงเจ้าของเอกสารทุกครั้งที่มีการนำไปใช้

3. ในการสร้างสายอากาศ สามารถสร้างสายอากาศให้มีอัตราขยายของสายอากาศเพิ่มมากขึ้น โดยออกแบบให้สายอากาศเชื่อมต่อกันหลาย ๆ ตัว (Array) ซึ่งอยู่บนแผ่นวงจรพิมพ์เดียวกัน

4. การใช้เครื่องมือที่ใช้ในการตัดแผ่นวงจรพิมพ์ ที่สามารถทำงานร่วมกับอุปกรณ์คอมพิวเตอร์จะทำให้การสร้าง และออกแบบส่วนของ แผ่นแพร่กระจายคลื่นให้มีความละเอียดได้สูง สะดวก และรวดเร็วยิ่งขึ้น



เอกสารนี้เป็นเอกสารที่สงวนไว้สำหรับการใช้งานเพื่อการศึกษาเท่านั้น ไม่อนุญาตให้นำไปใช้ประโยชน์ด้านการค้า ไม่ว่าจะกรณีใดๆ ทั้งสิ้น อีกทั้งห้ามมิให้ดัดแปลงเนื้อหา และต้องอ้างอิงถึงเจ้าของเอกสารทุกครั้งที่มีการนำไปใช้

บรรณานุกรม

1. บัณฑิต วิจารณ์อารยธรรม “วิศวกรรมสายอากาศ” ,สำนักพิมพ์จุฬาลงกรณ์มหาวิทยาลัย , พ.ศ.2536
2. พิชัย ภักดีพานิชเจริญ “ทฤษฎีและการใช้ เนตความถี่ย่านไมโครเวฟ”, สำนักพิมพ์ฟิสิกส์เซ็นเตอร์ ,พ.ศ.2536
3. โฆไนย ไกรฤกษ์ “ทฤษฎีเสาอากาศ” , สำนักพิมพ์ฟิสิกส์เซ็นเตอร์ , พ.ศ.2541
4. A.W. Rudge W.Miline and A.D. Olver P.Wnight, “Handbook Of Antenna Design” ,Volume 1 Peregrinus LTD., London, UW, 1982
5. C.A. Balanis, “ Antenna Theory Analysis and Design,” 2nd ed. John Wiley & Sons, Inc., 1997
6. Edward A. Wolf, “Antenna Analysis” ,John Wiley and Sons Inc, 1966
7. Kin - lu Wong “Planar Antennas for Wireless Communications”, John Wiley and Sons Inc, 2003
8. Robert E. Collin, “Antenna and Radiowave Propagation” ,McGraw-Hill Book Company, New York, 1985
9. Thomas A. Milligan, Martin Marietta Denver Aerospace, “Modern Antenna Design” ,McGraw-Hill, New York, 1985

เอกสารนี้เป็นเอกสารที่สงวนไว้สำหรับการใช้งานเพื่อการศึกษาเท่านั้น ไม่อนุญาตให้นำไปใช้ประโยชน์ด้านการค้า ไม่ว่าจะกรณีใดๆ ทั้งสิ้น อีกทั้งห้ามมิให้ดัดแปลงเนื้อหา และต้องอ้างอิงถึงเจ้าของเอกสารทุกครั้งที่มีการนำไปใช้



เอกสารนี้เป็นเอกสารที่สงวนไว้สำหรับการใช้งานเพื่อการศึกษาเท่านั้น ไม่อนุญาตให้นำไปใช้ประโยชน์ด้านการค้า
ไม่ว่ากรณีใดๆ ทั้งสิ้น อีกทั้งห้ามมิให้ดัดแปลงเนื้อหา และต้องอ้างอิงถึงเจ้าของเอกสารทุกครั้งที่มีการนำไปใช้

COPPER CLAD LAMINATES

GENERAL PROPERTIES

Test Item	Unit	Treatment Condition	Designation	DS-7405
			ANSI Grade	FR-4
			Property Data	
			Standard Value	Guaranteed Value
Tg	°C	DSC TMA DMA	135	above 130
			136	above 130
			185	above 160
CTE x-axis y-axis z-axis	ppm/°C	Ambient to Tg	18	less than 20
			13	less than 15
			55	less than 60
Flammability	-	UL-94	V-0	V-0
Insulation Resistance	ohm	C-96/20/85 C-96/20/85+D-2/100	$1 \times 10^{11} - 1 \times 10^{12}$	above 5×10^{11}
			$1 \times 10^{12} - 1 \times 10^{13}$	above 1×10^{12}
Volume Resistivity	ohm-cm	C-96/20/85 C-96/20/85+C-96/40/80	$1 \times 10^{13} - 1 \times 10^{14}$	above 1×10^{13}
			$5 \times 10^{13} - 5 \times 10^{14}$	above 5×10^{13}
Surface Resistance	ohm	C-96/20/85 C-96/20/85+C-96/40/80	$5 \times 10^{12} - 5 \times 10^{14}$	above 1×10^{12}
			$1 \times 10^{12} - 1 \times 10^{13}$	above 1×10^{11}
Arc Resistance	min.seconds		110	above 60
Dielectric Constant (1 MHz)	-	C-96/20/85 C-96/20/85+D-48/50	4.5-4.8	less than 5.5
			4.6-5.2	less than 5.8
Dissipation Factor (1 MHz)	-	C-96/20/85 C-96/20/85+D-48/50	0.015-0.020	less than 0.035
			0.018-0.023	less than 0.045
Comparative Tracking Index	volt	IEC Method	-	-
Solder Float(260 °C)	sec	A	above 180	above 120
Peel Strength Cu foil 1oz (0.035mm)	kg/cm	A	1.8-2.2	above 1.43
Flexural Strength	kg/mm ²	A	40-90	above 32.7
Water Absorption	%	E-24/50+D-24/23	0.10-0.15	less than 0.25

Specimen Thickness : 1.8mm

PURCHASING INFORMATION

- Copper foil : 0.5 oz/f² (0.018 mm), 1 oz/f² (0.035 mm), 2 oz/f² (0.070 mm) available.
- Thickness : 0.4mm to 3.2mm

Standard Size	Tolerance(mm)
1,020 X 1,220mm (40" X 48")	±3
1,070 X 1,220mm (42" X 48")	±0
1,020 X 1,020mm (40" X 40")	

※ Other sheet size and thickness could be available upon request.

DOOSAN Electro-Materials

DS-7405

(ANSI : FR-4)

FEATURES

- Good dimensional stability.
- Soldering reliability has been bettered
- Good electrical properties
- High density automatic mounting can be carried out

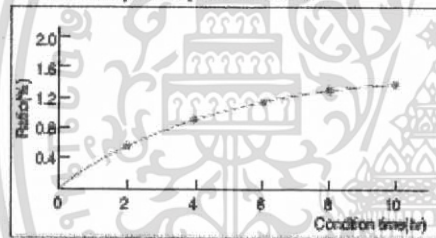
APPLICATIONS

Computer, Instrumentation, VCR, Television, Electronic Toy, etc.,

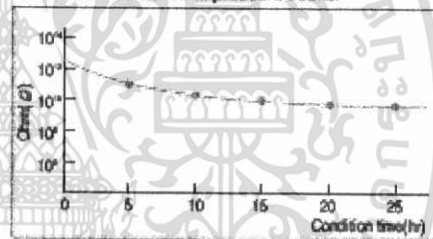
INTERNATIONAL STANDARD RECOGNITION

- UL : E103670
- CSA : LS-93237
- BSI : 6741
- VDE : VDE-Reg-Nr. 4945

Water absorption at pressure cooker

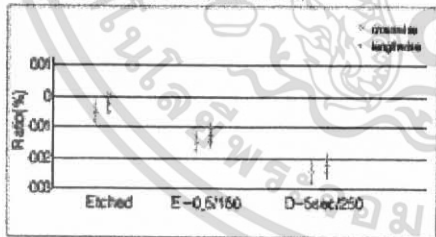


Insulation resistance at pressure cooker



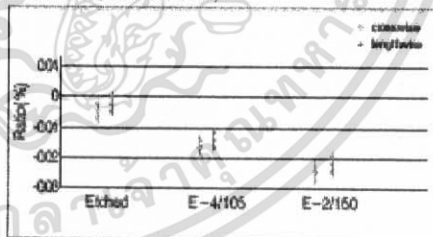
Dimensional stability

PCB process (size: 60x510mm span: 10x25.4mm)

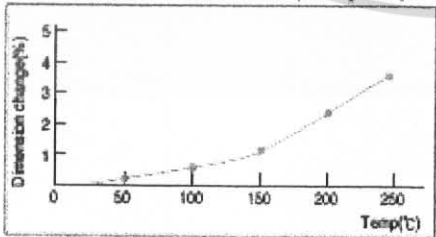


Dimensional stability

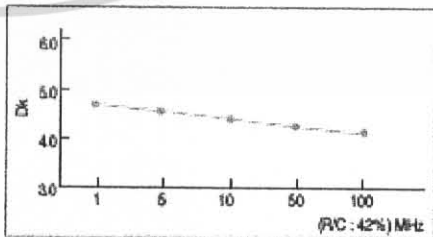
Test method: PC-TR E502.4.89



Thermal expansion of Z-direction (Test by TMA)



Dielectric constant



The World Leader in Technology and Quality

เอกสารนี้เป็นเอกสารที่สงวนไว้สำหรับการใช้งานเพื่อการศึกษาเท่านั้น ไม่อนุญาตให้นำไปใช้ประโยชน์ด้านการค้า
ไม่ว่ากรณีใดๆ ทั้งสิ้น อีกทั้งห้ามมิให้ดัดแปลงเนื้อหา และต้องอ้างอิงถึงเจ้าของเอกสารทุกครั้งที่มีการนำไปใช้



ภาคผนวก ข

เอกสารนี้เป็นเอกสารที่สงวนไว้สำหรับการใช้งานเพื่อการศึกษาเท่านั้น ไม่อนุญาตให้นำไปใช้ประโยชน์ด้านการค้า
ไม่ว่ากรณีใดๆ ทั้งสิ้น อีกทั้งห้ามมิให้ดัดแปลงเนื้อหา และต้องอ้างอิงถึงเจ้าของเอกสารทุกครั้งที่มีการนำไปใช้

คำอธิบายความหมายของตัวแปรต่างๆ

P	=	Power (in radial directional)
P_{rad}	=	The average power radiated by an antenna (radiated power)
U	=	Radiation intensity (w/unit solid angle)
W_{rad}	=	Radiation density (w/m ²)
E	=	Far-zone electric field
E_{θ}, E_{ϕ}	=	Far-zone electric field components of the antenna
η	=	Intrinsic impedance of the medium
E_r	=	E- field component
H_{ϕ}, H_r	=	H- field component
R	=	Observation distance from target (m)
\hat{a}	=	เวกเตอร์หนึ่งหน่วยทิศตามแกน z
ϵ	=	Emissivity
μ	=	permittivity
I_e	=	Electric current
I_0	=	constant current
L	=	ความยาวของ dipole
W_{av}	=	The average pointing vector
λ	=	ความยาวคลื่น
β_0	=	ค่าคงที่
$F(\theta, \phi)$	=	Related to the radiation intensity

เอกสารนี้เป็นเอกสารที่สงวนไว้สำหรับการใช้งานเพื่อการศึกษาเท่านั้น ไม่อนุญาตให้นำไปใช้ประโยชน์ด้านการค้า ไม่ว่าจะกรณีใดๆ ทั้งสิ้น อีกทั้งห้ามมิให้ดัดแปลงเนื้อหา และต้องอ้างอิงถึงเจ้าของเอกสารทุกครั้งที่มีการนำไปใช้

- D_0 - ค่า Directivity (dimensionless)
- ϕ = Phase shift ของสัญญาณที่เข้าไปในแต่ละ elements
- d = Spacing
- AF - Array factor
- W - Power Density
- γ = $kl/2$
- β - The difference in phase excitation between the element
- α - $jk \cos \theta$
- Z_S = อิมพีแดนซ์ที่ต้นสาย
- Z_T = อิมพีแดนซ์ที่ปลายสาย
- Z_0 = อิมพีแดนซ์ลักษณะ (Characteristic impedance) หรือ อิมพีแดนซ์ลูกคลื่น (Surge impedance)
- β = ค่าคงตัวเฟส
- d = ความยาวของสายส่ง
- λ = ความยาวคลื่น
- α = ค่าคงตัวลดทอน
- Γ_T = สปส. การสะท้อนที่ปลายสาย
- V_T^+ = คลื่นของแรงดันตกกระทบ(ต้นสายไปปลายสาย)
- V_T^- = คลื่นของแรงดันสะท้อนกลับ(ปลายสายกลับมายังต้นสาย)
- I_T^+ = คลื่นของกระแสตกกระทบ
- I_T^- = คลื่นของกระแสสะท้อนกลับ

เอกสารนี้เป็นเอกสารที่สงวนไว้สำหรับการใช้งานเพื่อการศึกษาเท่านั้น ไม่อนุญาตให้นำไปใช้ประโยชน์ด้านการค้า ไม่ว่าจะกรณีใดๆ ทั้งสิ้น อีกทั้งห้ามมิให้ดัดแปลงเนื้อหา และต้องอ้างอิงถึงเจ้าของเอกสารทุกครั้งที่มีการนำไปใช้

Γ = สปส. การสะท้อน

Z = แสดงทิศทางตามแกน z

V_{max} = แรงแม่เหล็กที่มีค่ามากที่สุดที่จุดใดในสายส่ง

V_{min} = แรงแม่เหล็กที่มีค่าน้อยที่สุดที่จุดใดในสายส่ง

I_{max} = กระแสที่มีค่ามากที่สุดในสายส่ง

I_{min} = กระแสที่มีค่าน้อยที่สุดในสายส่ง

Z_{max} = อิมพีแดนซ์ที่ตำแหน่งที่เกิดจากแรงแม่เหล็กสูงสุดและกระแสต่ำสุดอินเฟสกัน ทำ

ให้ได้ค่าอิมพีแดนซ์ที่มีค่าสูงสุด

Z_{min} = อิมพีแดนซ์ที่จุดในสายเป็นค่าจริงและเป็นค่าต่ำสุด

d_1 = ระยะทางจากโหลด

เอกสารนี้เป็นเอกสารที่สงวนไว้สำหรับการใช้งานเพื่อการศึกษาเท่านั้น ไม่อนุญาตให้นำไปใช้ประโยชน์ด้านการค้า
ไม่ว่ากรณีใดๆ ทั้งสิ้น อีกทั้งห้ามมิให้ดัดแปลงเนื้อหา และต้องอ้างอิงถึงเจ้าของเอกสารทุกครั้งที่มีการนำไปใช้